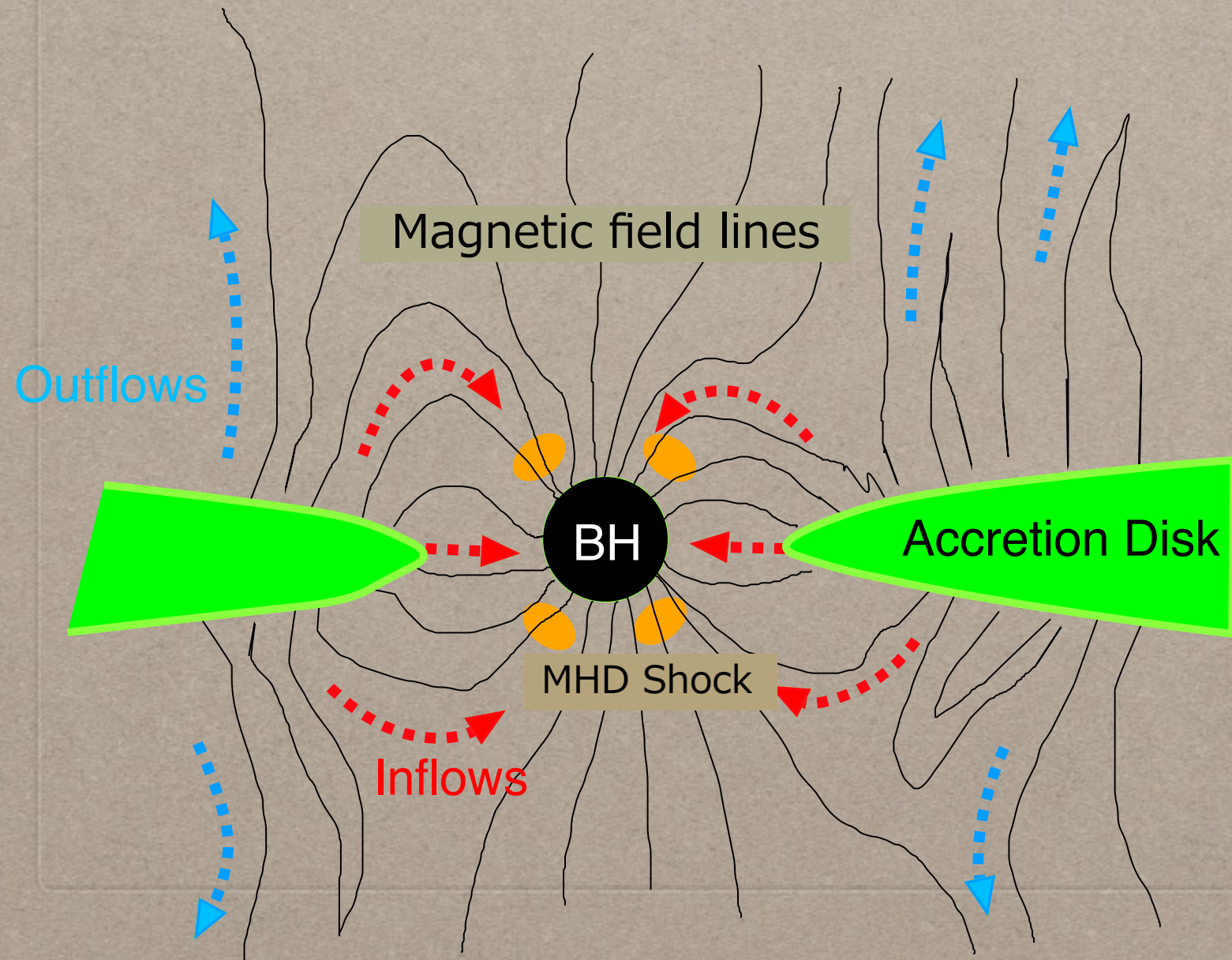


# ブラックホール磁気圏の 磁場構造と宇宙ジェット形成



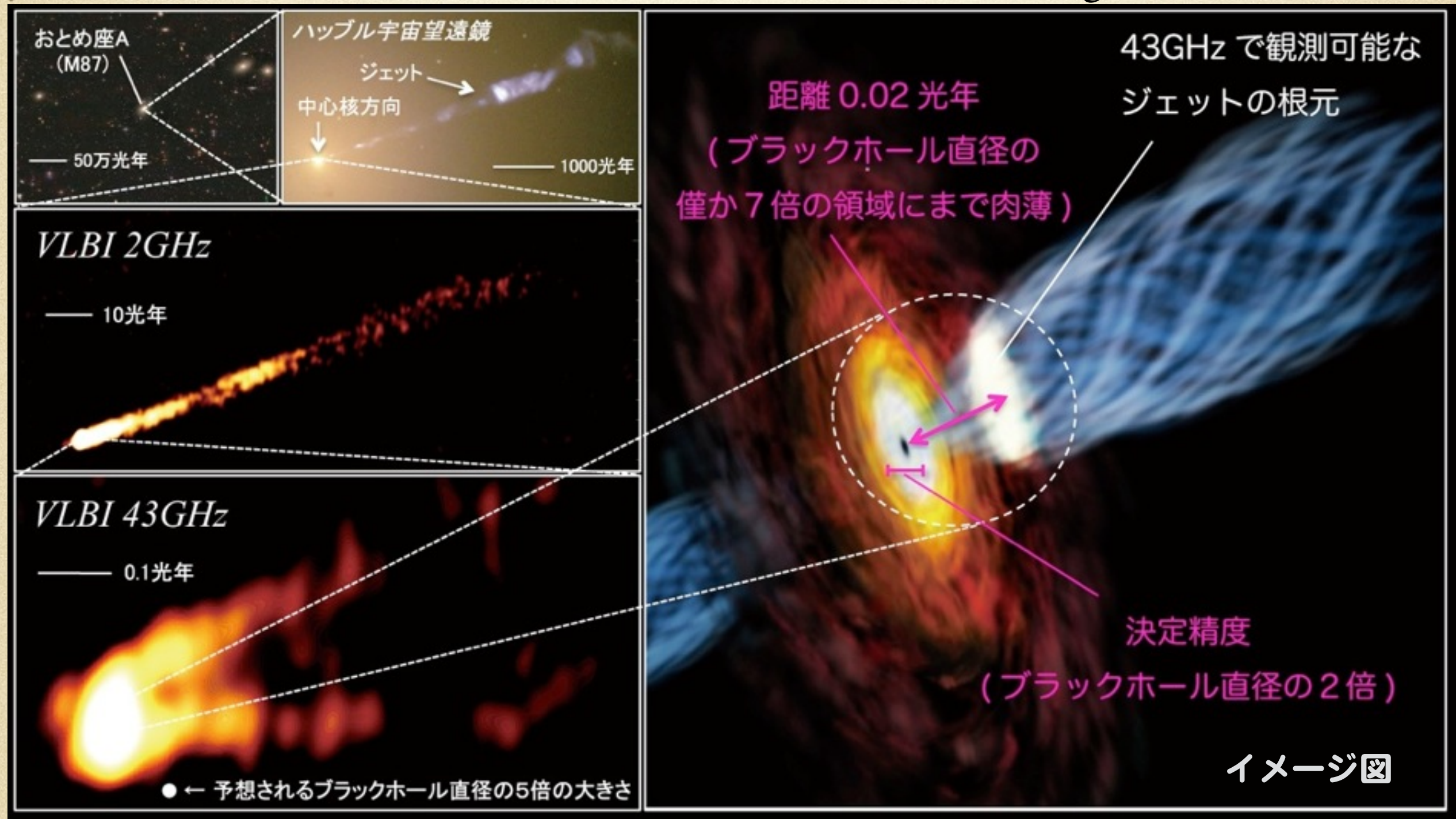
高橋真聰  
(愛知教育大学)

# 宇宙ジェットと磁気圏

# Where is the black hole power transported to?

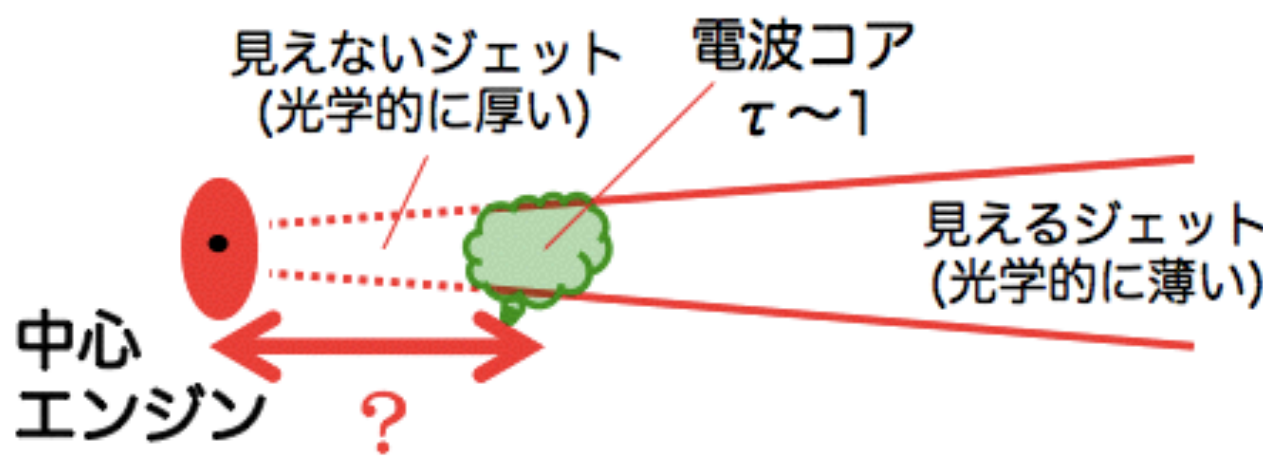
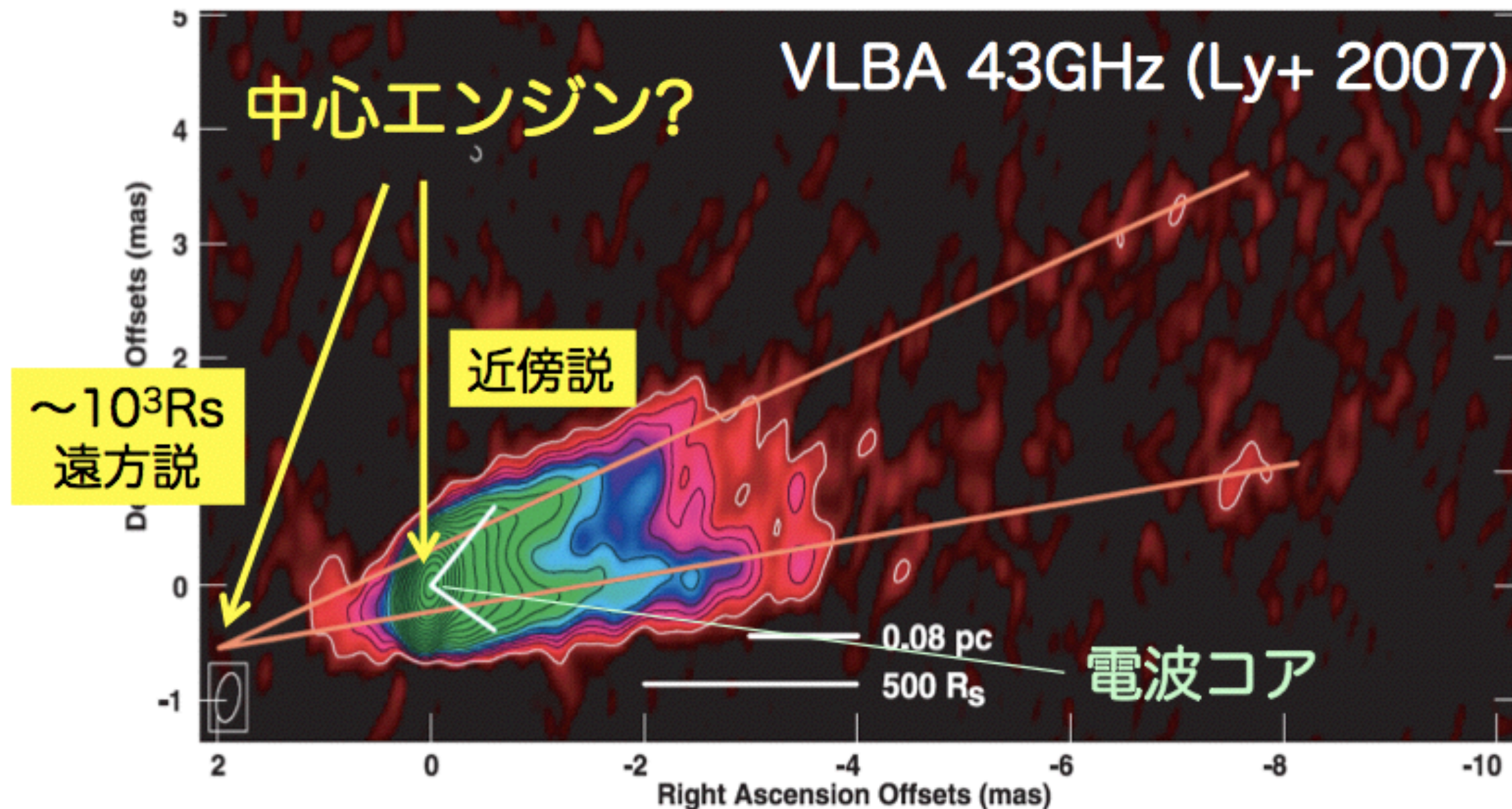
Hada et al. (2011)

Relativistic Jet : Its origin is still unknown.



(左上段左) Sloan Digital Sky Survey, (左上段右) NASA and the Hubble Heritage Team, (右) 国立天文台/AND You Inc.

# 中心エンジンは何処に？

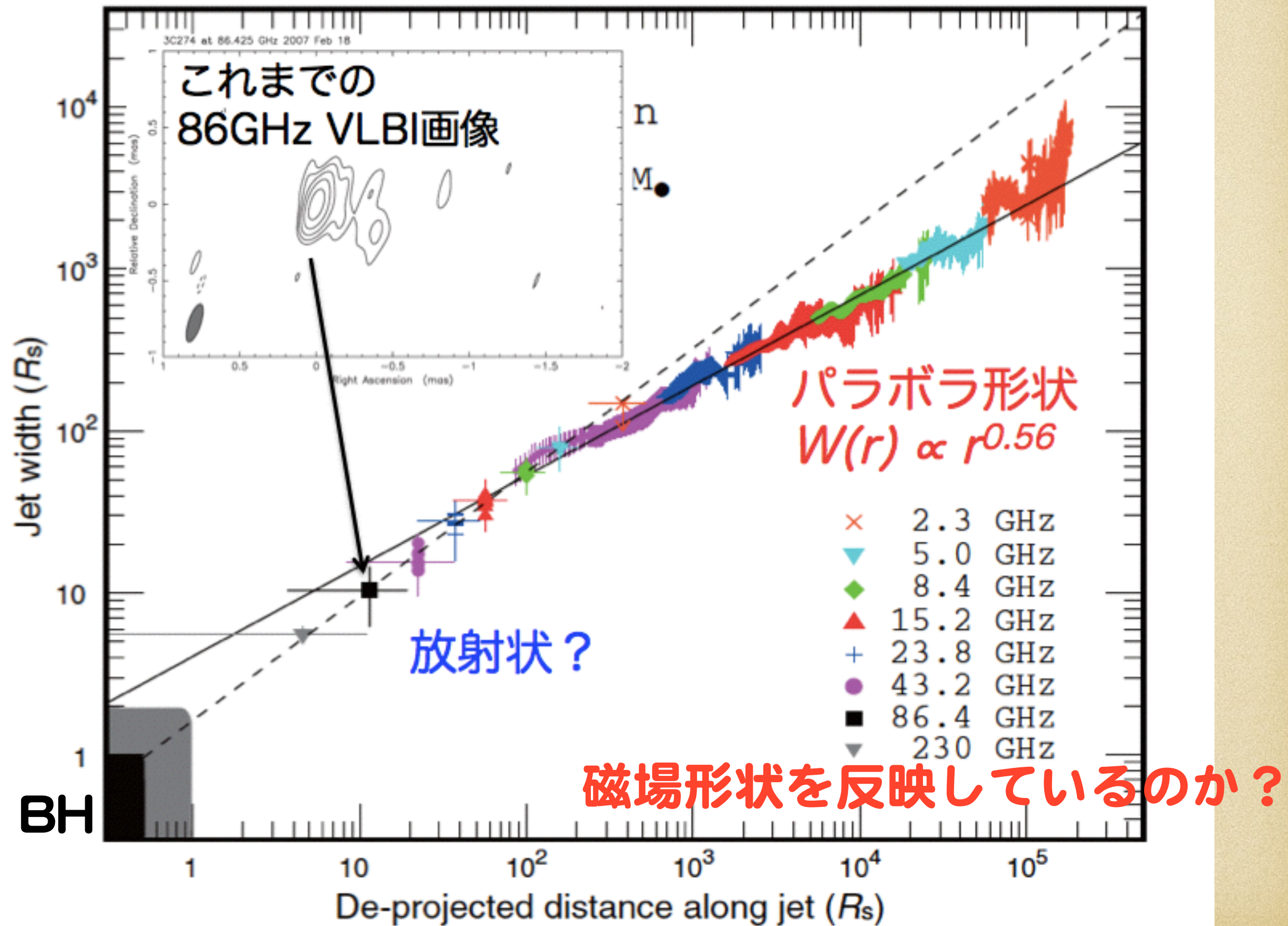


- 電波コア:
  - シンクロトロン自己吸収  $\tau \sim 1$  表面

# ジェット収束プロファイル

(Hada et al. 2013, ApJ)

『秦さんプレゼンファイル@銀中祭り2015』より

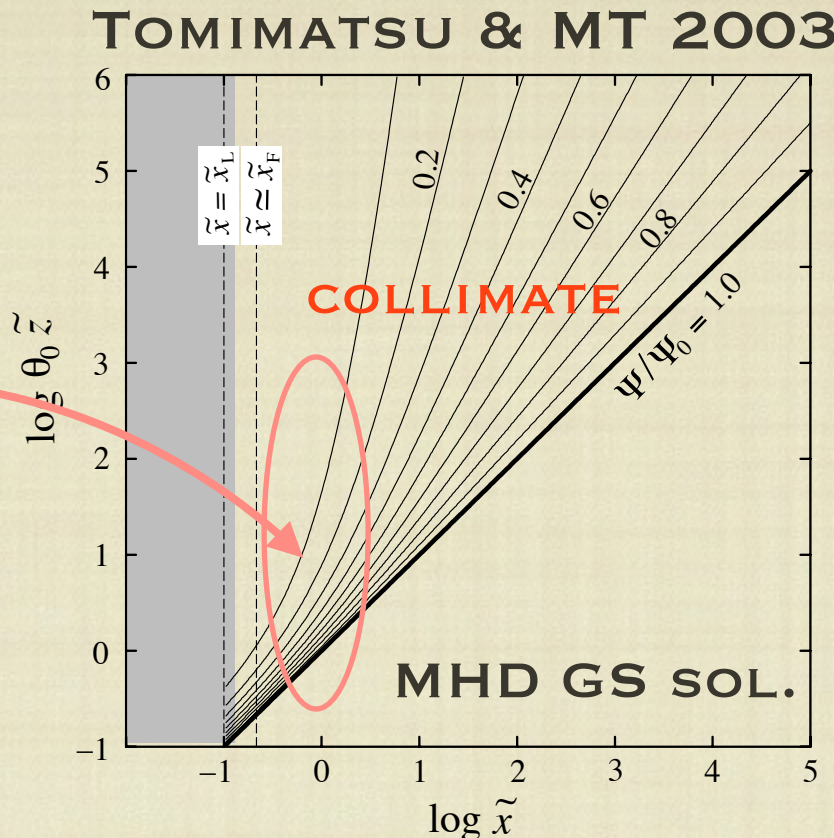


# BH MAGNETOSPHERE: JETS

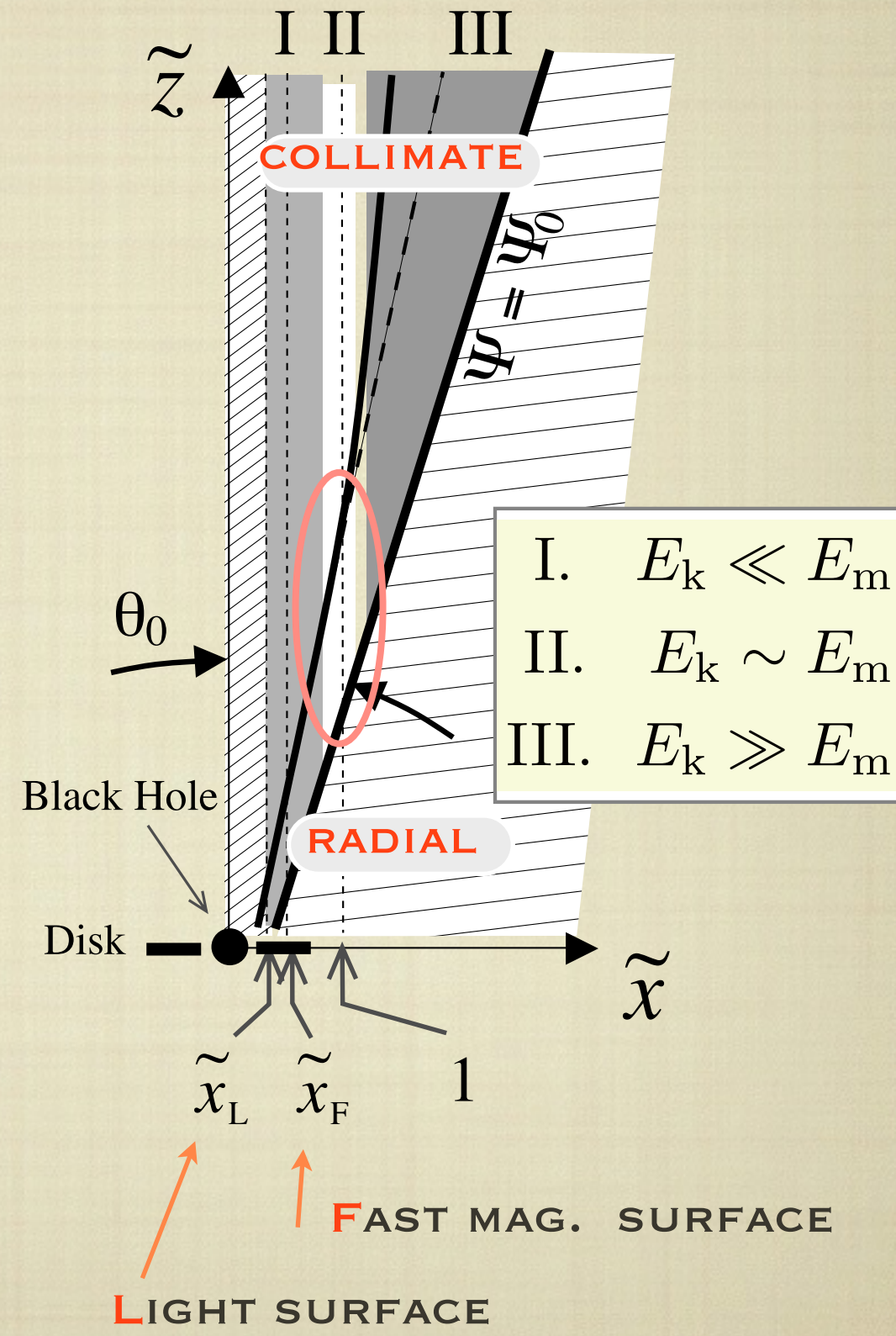
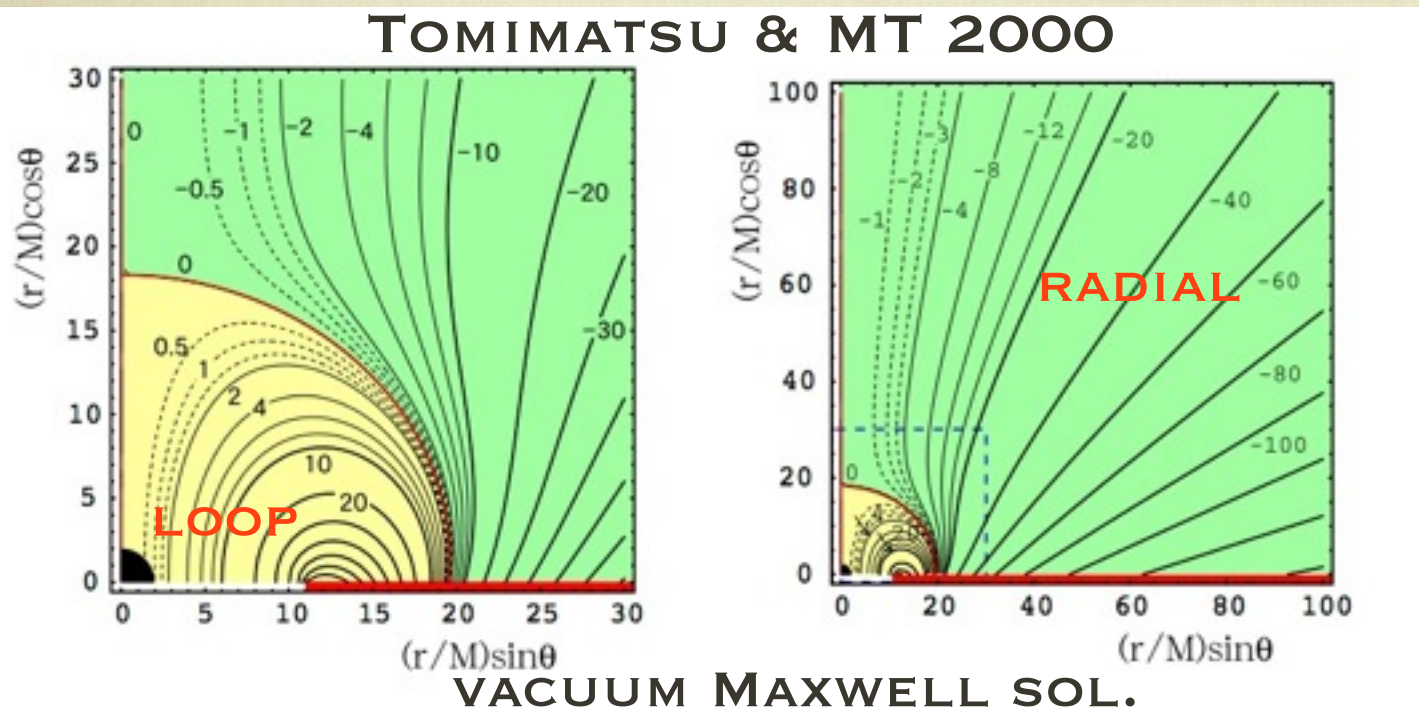
## ■ OUTER REGION

$E_k \sim E_m$  の辺りから折れ曲がる

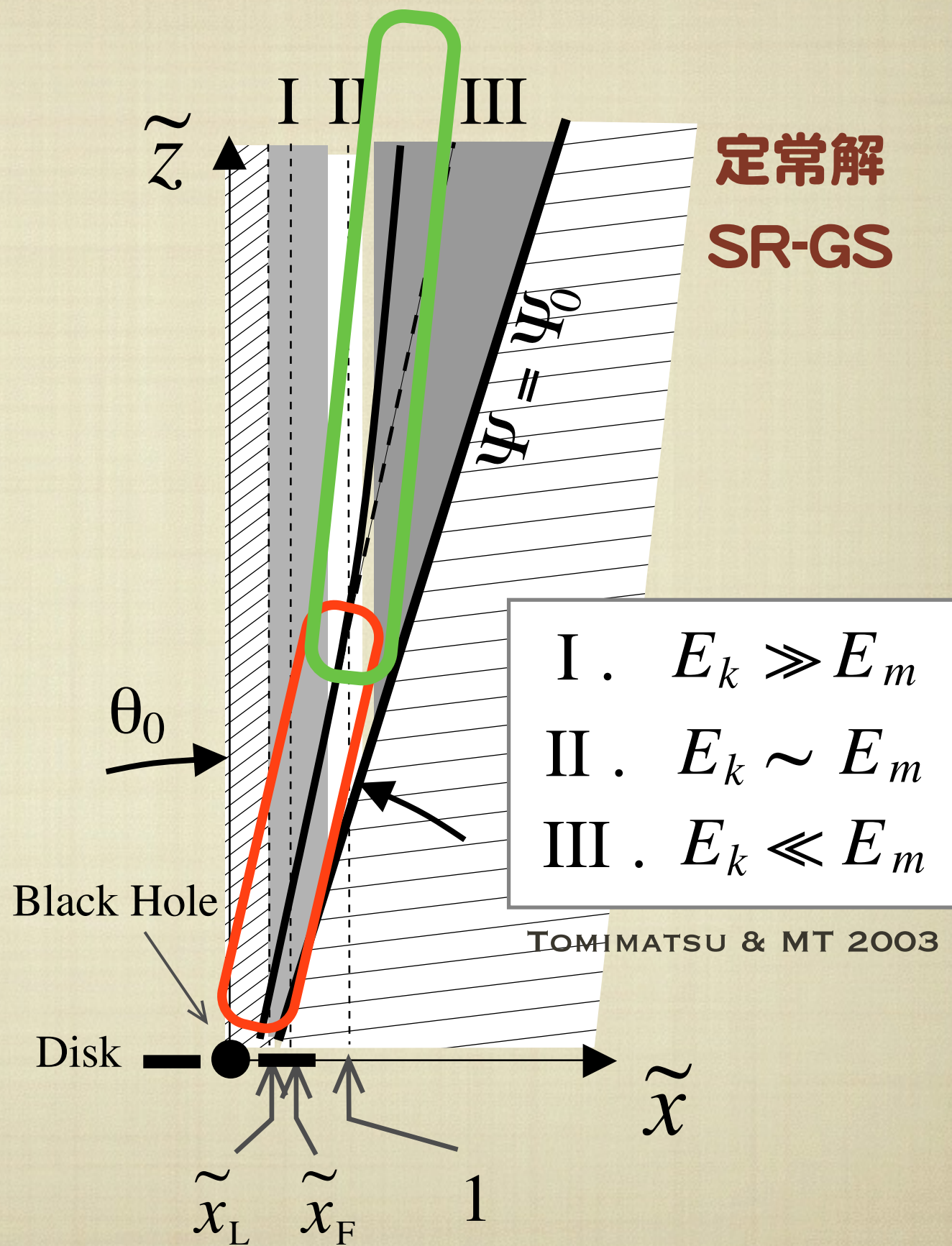
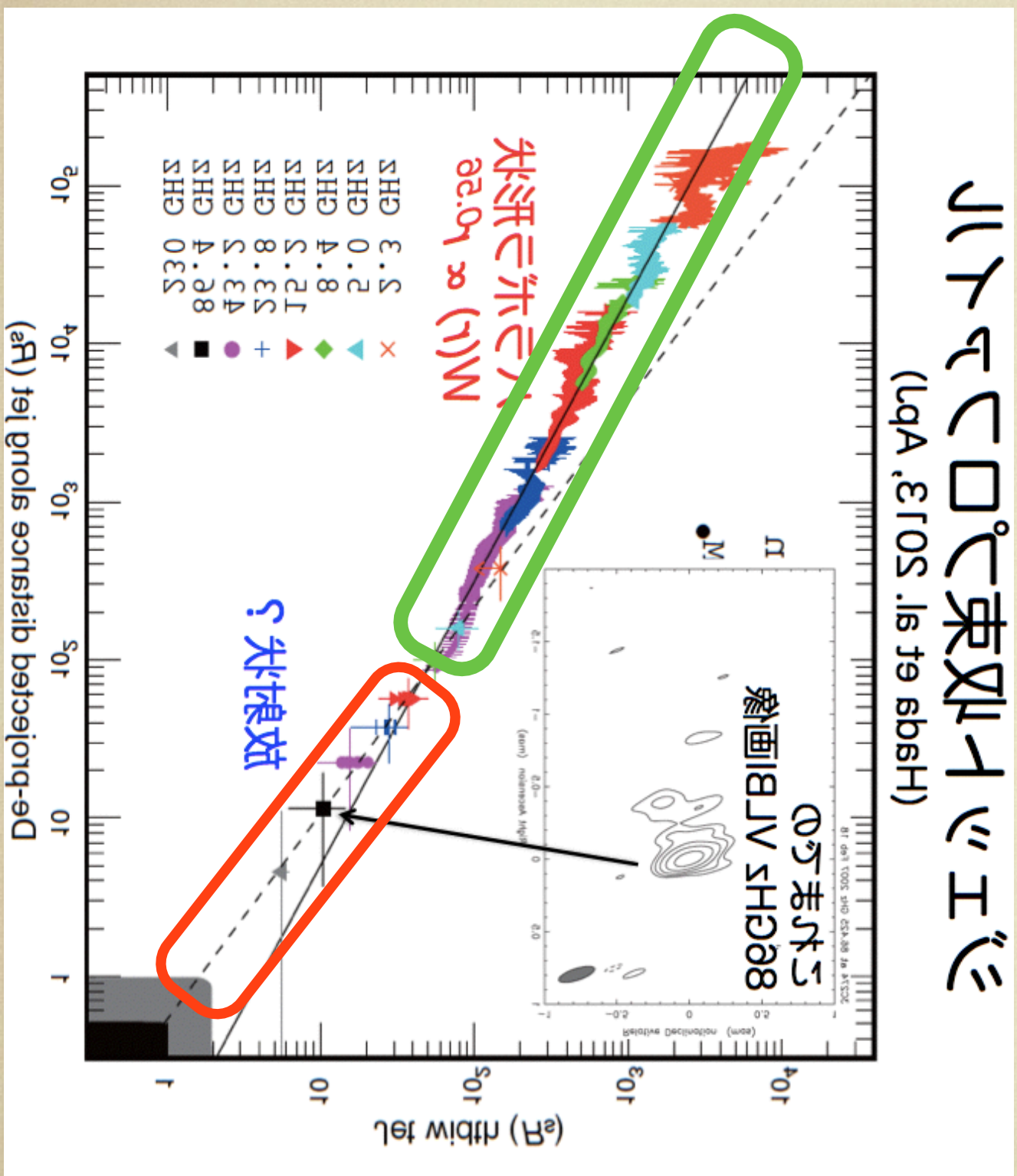
M87ではどう？



## ■ INNER REGION

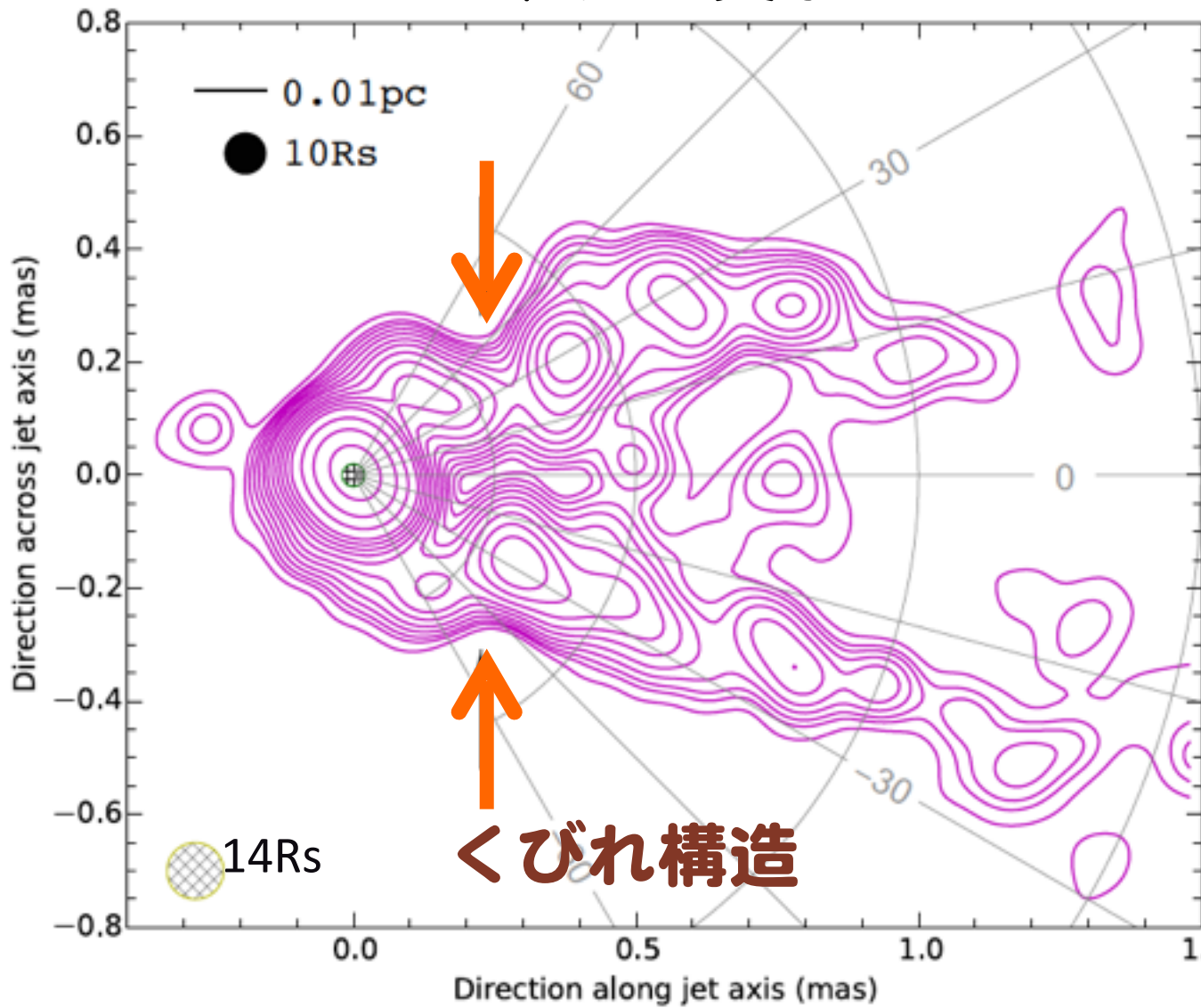


# 放射状形状 → パラボラ形状 が見えてきた!?

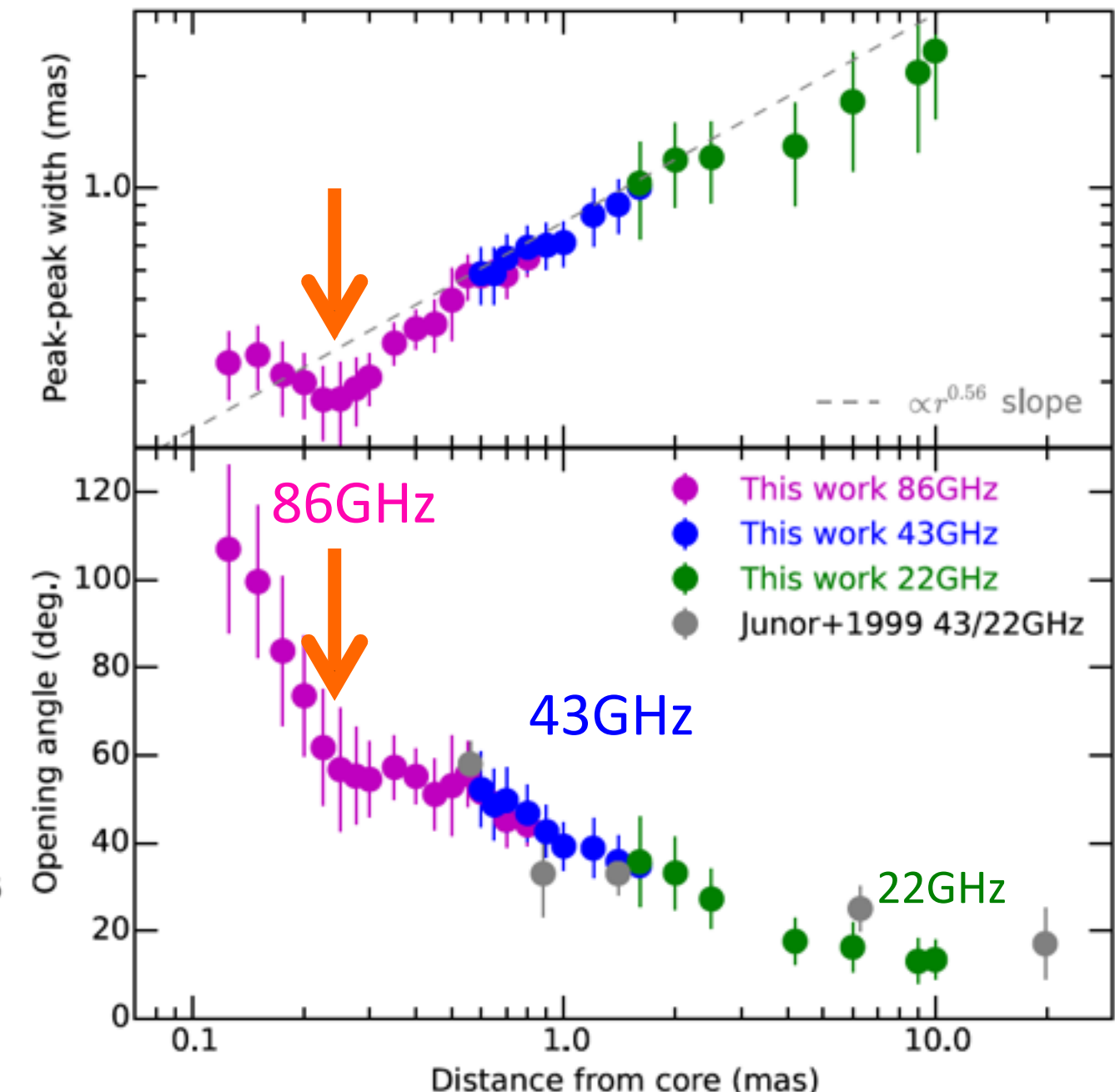


# $r=10\text{-}100R_s$ 生成伝搬 形状

86GHz根元写真 拡大図



ジェット幅(上図) / 開口角(下図)



- 過去の43GHz画像: 開口角 $\sim 60^\circ$  at  $r=100R_s$  (Junor+1999)
- 今回の86GHz画像: 開口角 $\sim 100^\circ$  at  $r=10R_s$
- ピンチ構造@ $r\sim 30R_s$

Hada (2015) in preparation

# くびれの原因は？

- 磁気圏の磁場構造？ (自発的な構造形成)

Light surface 以遠では : conical → paraboloidal

内側領域でのズレは、強重力場プラズマ環境に由来？

- 降着円盤内壁を反映？ (外因による構造形成)

降着円盤の funnel の形状を反映？

Funel 壁がノズル状にくびれています？

くびれ位置の時間変化・更なる高分解能像の観測が鍵！

# 磁気圏とガス円盤は持ちつ持たれつ

- 降着円盤の形成・構造の議論

円盤表面からのエネルギー・角運動量輸送は構造決定に際して重要。磁場は降着率決定にとって重要な役目を果たす。

- 磁気圏としての取り扱い

磁気圏の磁場は、主として降着円盤に由来する。磁気圏内のプラズマ流れや磁力線間の力の釣り合いにおいて、降着円盤が境界条件を与える。

# 相對論的磁氣流体力学

## GRMHD

# GRMHD

## Basic Equations

The *ideal MHD* condition

$$u^\beta F_{\alpha\beta} = 0$$

The particle conservation law

$$(nu^\alpha)_{;\alpha} = 0$$

Maxwell equations

$$F_{;\nu}^{\mu\nu} = -4\pi j^\mu , \quad F_{[\mu\nu;\sigma]} = 0$$

Polytropic relation (Tooper 1965)

$$P = K\rho_0^\Gamma$$

The equation of motion

$$T_{;\beta}^{\alpha\beta} = 0$$

## Field-aligned ``conserved quantities"

1. Number flux per unit magnetic flux
2. Angular velocity of the field lines
3. Total energy of the magnetized flow
4. Total angular momentum
5. Entropy

flow's parameters

$$\begin{aligned}\eta(\Psi) &= \frac{nu^p}{B^p} \\ \Omega_F(\Psi) &= -\frac{F_{tr}}{F_{\phi r}} = -\frac{F_{t\theta}}{F_{\phi\theta}} \\ E(\Psi) &= \mu u_t - \frac{\Omega_F}{4\pi\eta} B_\phi \\ L(\Psi) &= -\mu u_\phi - \frac{1}{4\pi\eta} B_\phi \\ S(\Psi) &\end{aligned}$$

# GRMHD Flows

運動方程式を積分して…

- 1. Relativistic Bernoulli equation

energy in corotation frame

$$(E - \Omega_F L)^2$$

(rest mass energy + internal energy)

gravitational Lorentz factor

$$\mu^2 \alpha$$

enthalpy

Alfven Mach number

$$M^2 \equiv \frac{u_p^2}{u_{AW}^2} \alpha$$

poloidal magnetic field

toroidal magnetic field

→ PLOT Solution

- 2. total Energy of MHD Flow

時間成分を積分して…

$$E(\Psi) = \mu u_t$$

$$- \frac{\Omega_F}{4\pi\eta} B_\phi$$

the fluid part of energy

Poynting flux per the particle number flux

energy conversion  
KE <--> ME

# Bernoulli equation (Newtonian)

\* From equation of motion,

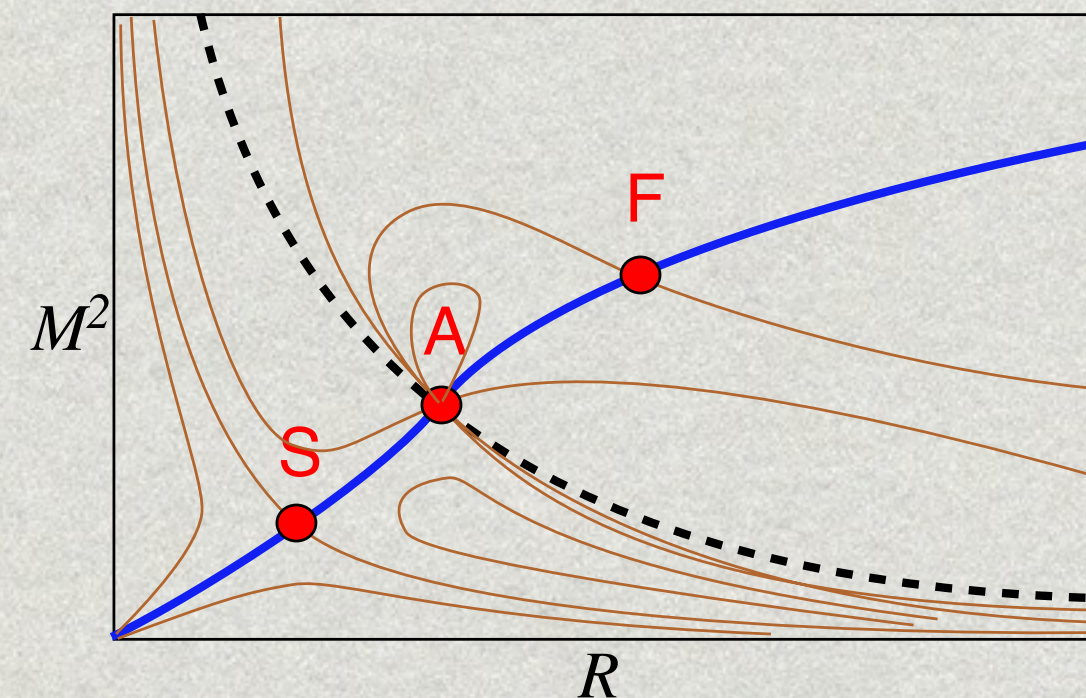
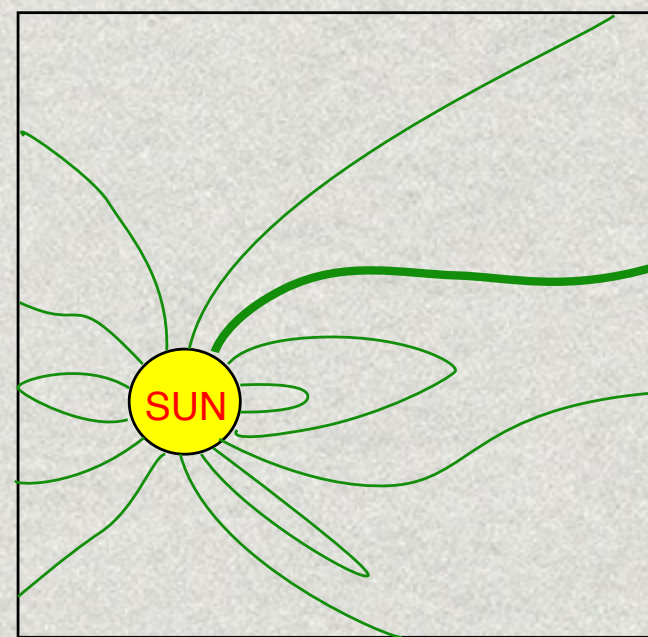
$$E = \left( \frac{1}{2} v_r^2 + \frac{1}{2} v_\phi^2 + \frac{\Gamma}{\Gamma - 1} \frac{P}{\rho} + \Psi(r) \right) - \frac{r B_\phi B_r \Omega_F}{4\pi \rho v_r}$$

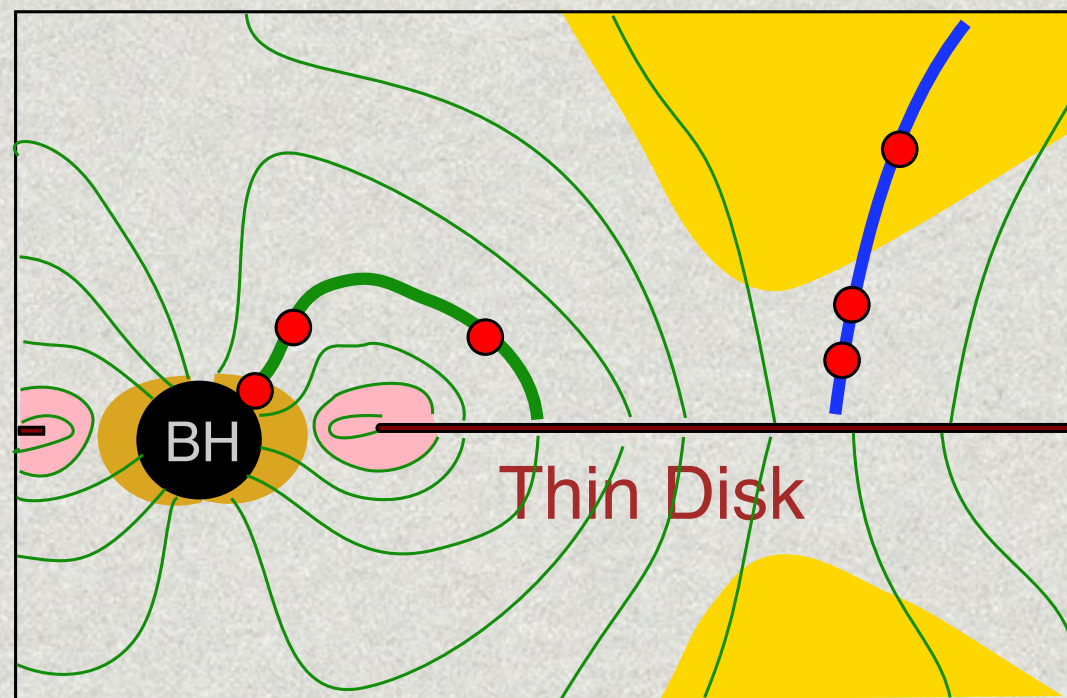
kinetic energy      internal energy      gravitational potential      Poynting flux

OR

$$(E - \Omega_F L) = \frac{1}{2} v_r^2 + \frac{1}{2} v_\phi^2 + \frac{a_{\text{sw}}^2}{\Gamma - 1} + \Psi(r) - r v_\phi \Omega_F$$

**SOLAR  
WIND**





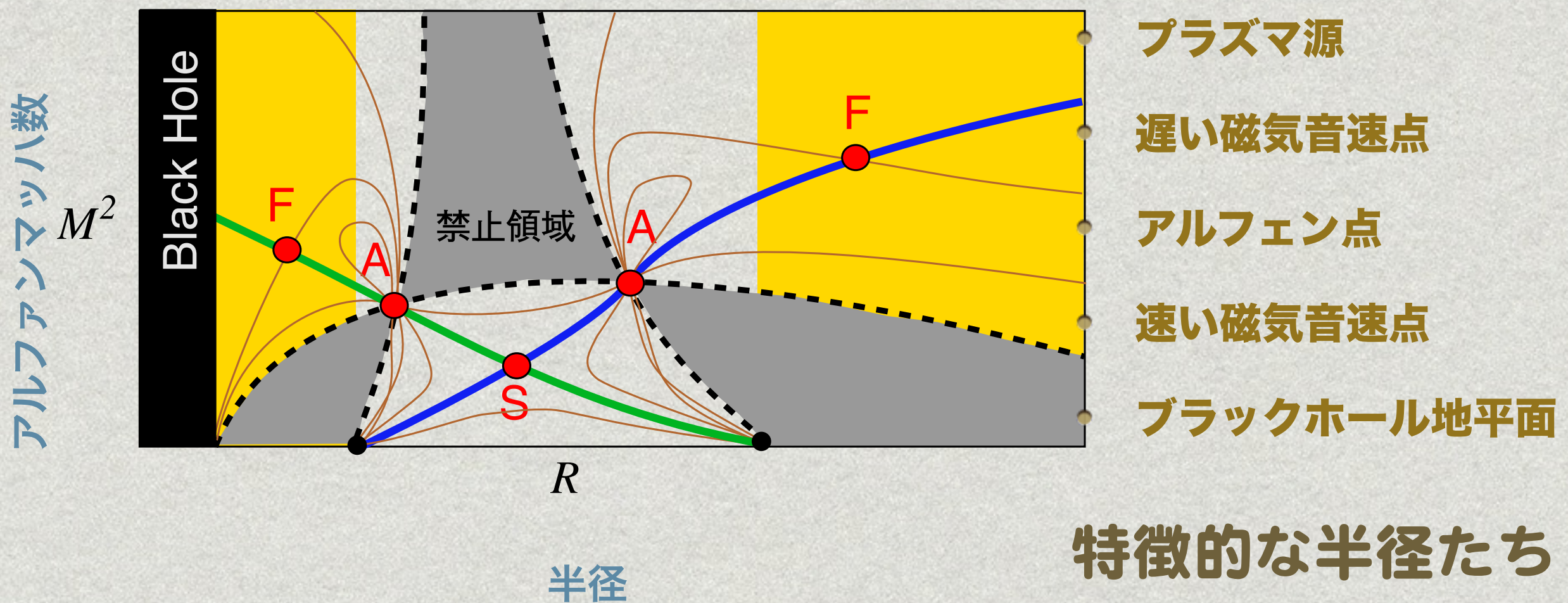
## ブラックホール磁気圏

INFLOW と OUTFLOW が共存

相対論効果：

**LIGHT SURFACE**

禁止領域 ( $E^2 < 0$ )



特徴的な半径たち

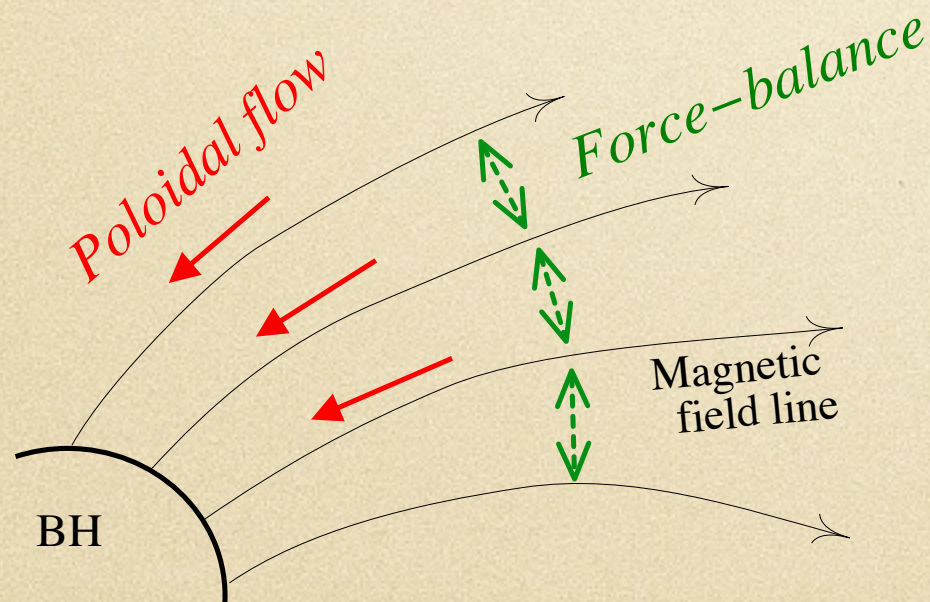
### 3. Trans-field equation

The force-balance equation is derived by Nitta et al.(1991)

GRMHD

$$\begin{aligned}
 & \frac{\alpha - M^2}{4\pi} (\partial^r \partial_r \Psi + \partial^\theta \partial_\theta \Psi) + \frac{\hat{B}_p^2 \rho_w^2}{4\pi \sqrt{-g}} \left[ \frac{\sqrt{-g}}{\rho_w^2} (\alpha - M^2) \right]' \\
 & + \frac{4\pi \mu^2 \rho_w^2}{M^2} \eta \eta' + \frac{2\pi}{M^2} [g_{\phi\phi} (E^2 \eta^2)' + 2g_{t\phi} (EL\eta^2)' + g_{tt} (L^2 \eta^2)'] \\
 & - \frac{4\pi \eta^2 \rho_w^2}{M^4} (\mu^2 G_\phi - e\mu u_\phi) \Omega'_F + \frac{4\pi}{M^2} [G_\phi (E\eta)' + G_t (L\eta)'] (E\eta) \hat{f} = 0
 \end{aligned} \tag{7.47}$$

where the prime ('')  $\equiv -(1/\hat{B}_p^2)[(\partial^r \Psi) \partial_r + (\partial^\theta \Psi) \partial_\theta]$ ,  $\hat{B}_p \equiv \rho_w B_p$  and  $\hat{f} \equiv \rho_w f$ .



The ideal MHD plasmas stream along magnetic field lines.

The configuration of field lines is determined by the force-balance between the field.

# Inflow & Outflow

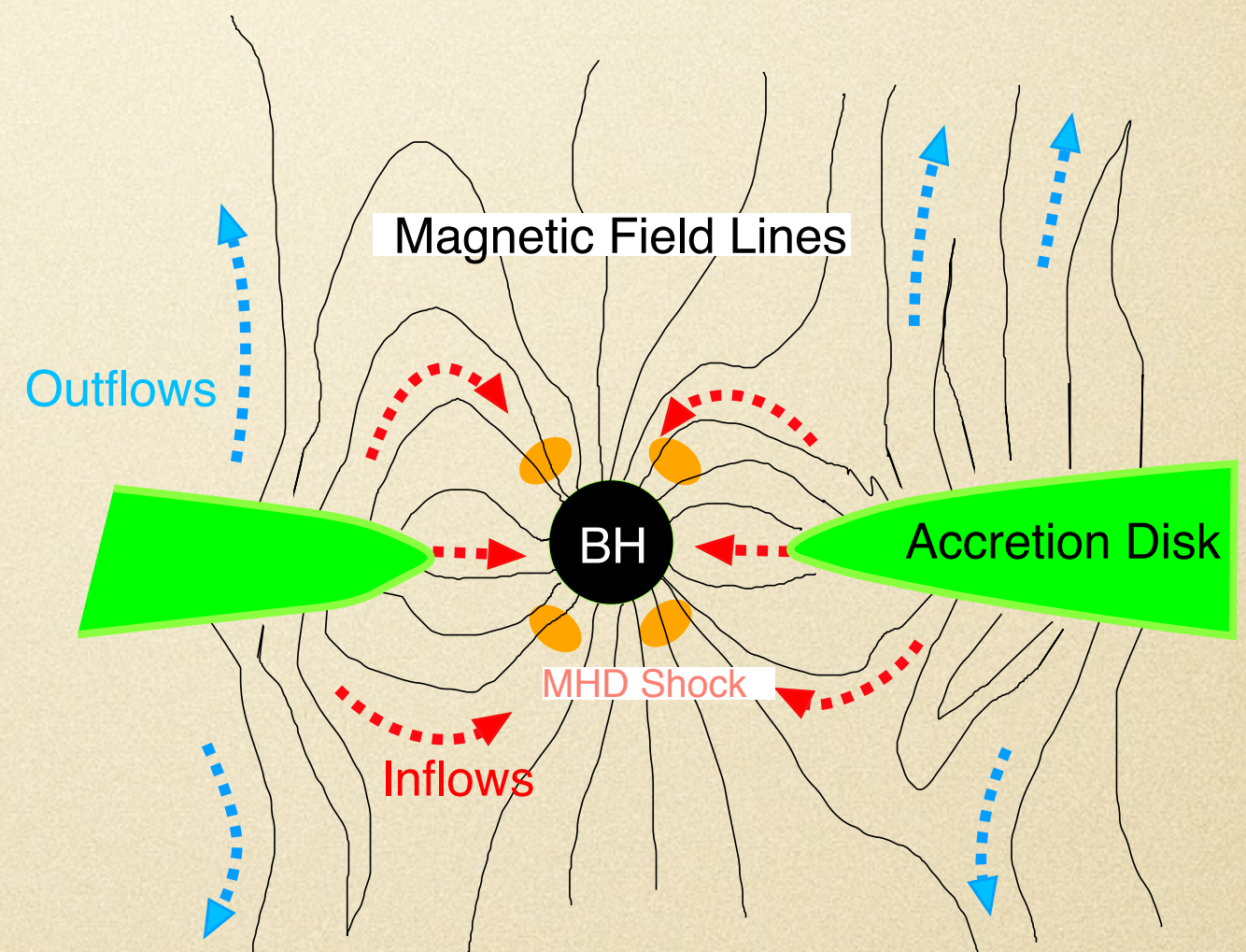
## GRMHD

# Inflow and Outflow

- ブラックホールの周りにプラズマ源が必要！

降着ガス円盤  
コロナ

- 降着流 +  
ジェット / ディスク風
- 2つの磁気圏領域を  
プラズマ源で接続



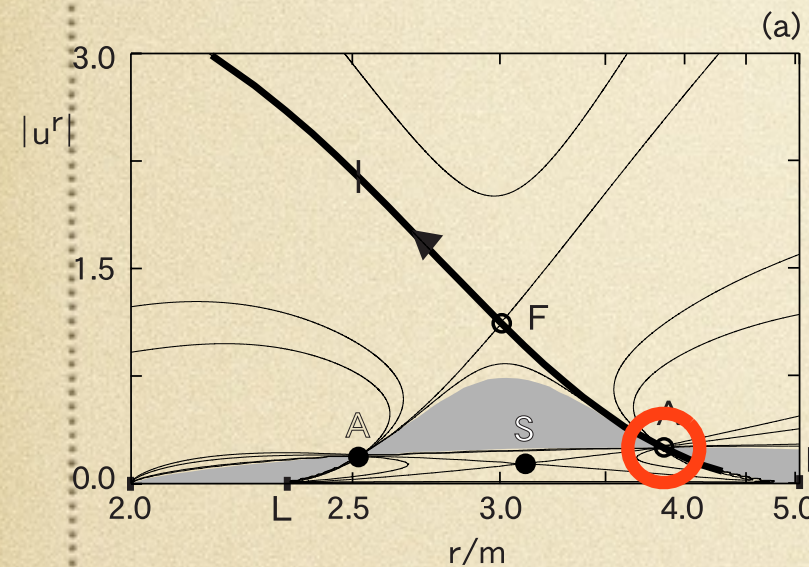
# 磁気圏は？ --- 磁気流体力学(GRMHD) を適用する の解析

- \* Kerr時空, 定常・軸対称, 理想MHD, 磁場形状, を仮定
  - \* 磁気流体の保存量, BH spin, 磁場分布, がパラメータ  $E, L, \Omega_F, \eta, \mu_{\text{hot}}, a, B_p(r, \theta)$
  - \* 磁気音速点を通過するための臨界条件がある
- $\beta$ -model** (Tomimatsu & M.T. 2003, M.T & Tomimatsu 2008)  
ポロイダル磁場とトロイダル磁場の比をモデル化する
- \* 磁力線の間の力の釣り合いを研究する時代に
  - \* プラズマ源の物理の開拓を

# MHD Accretion onto Black Holes

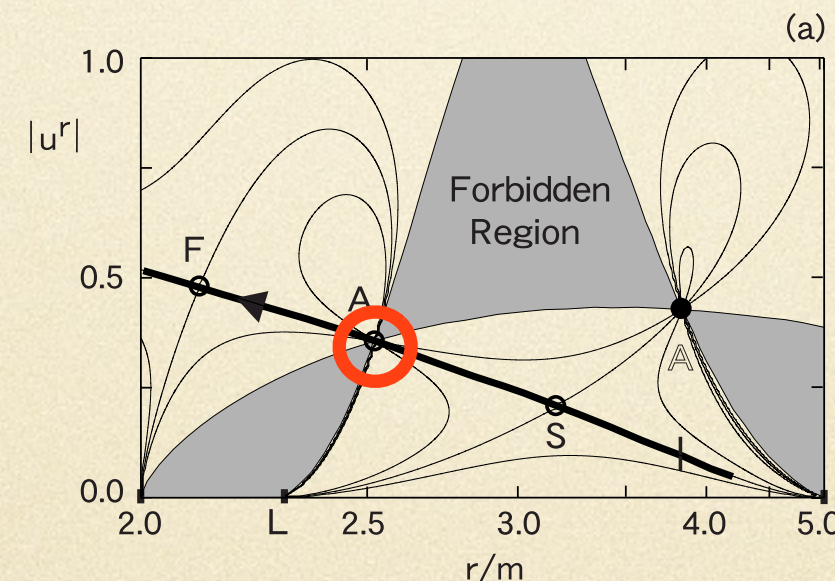
2つのアルフェン点 → 磁気的／流体的降着流

BH: slowly rotating



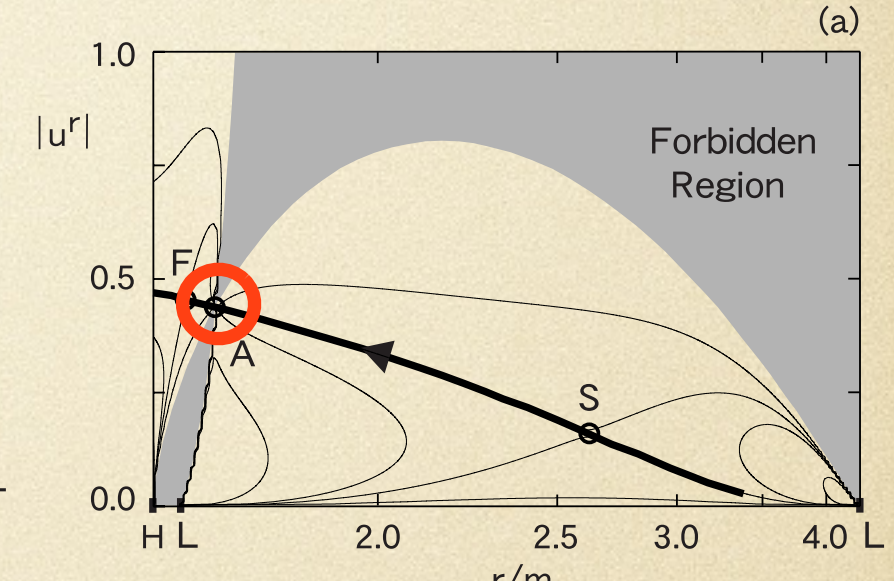
weak-magnetic field limit  
=> Hydro Dynamical Flow

BH: slowly rotating



strong-magnetic field limit  
=> Force-free magnetosphere

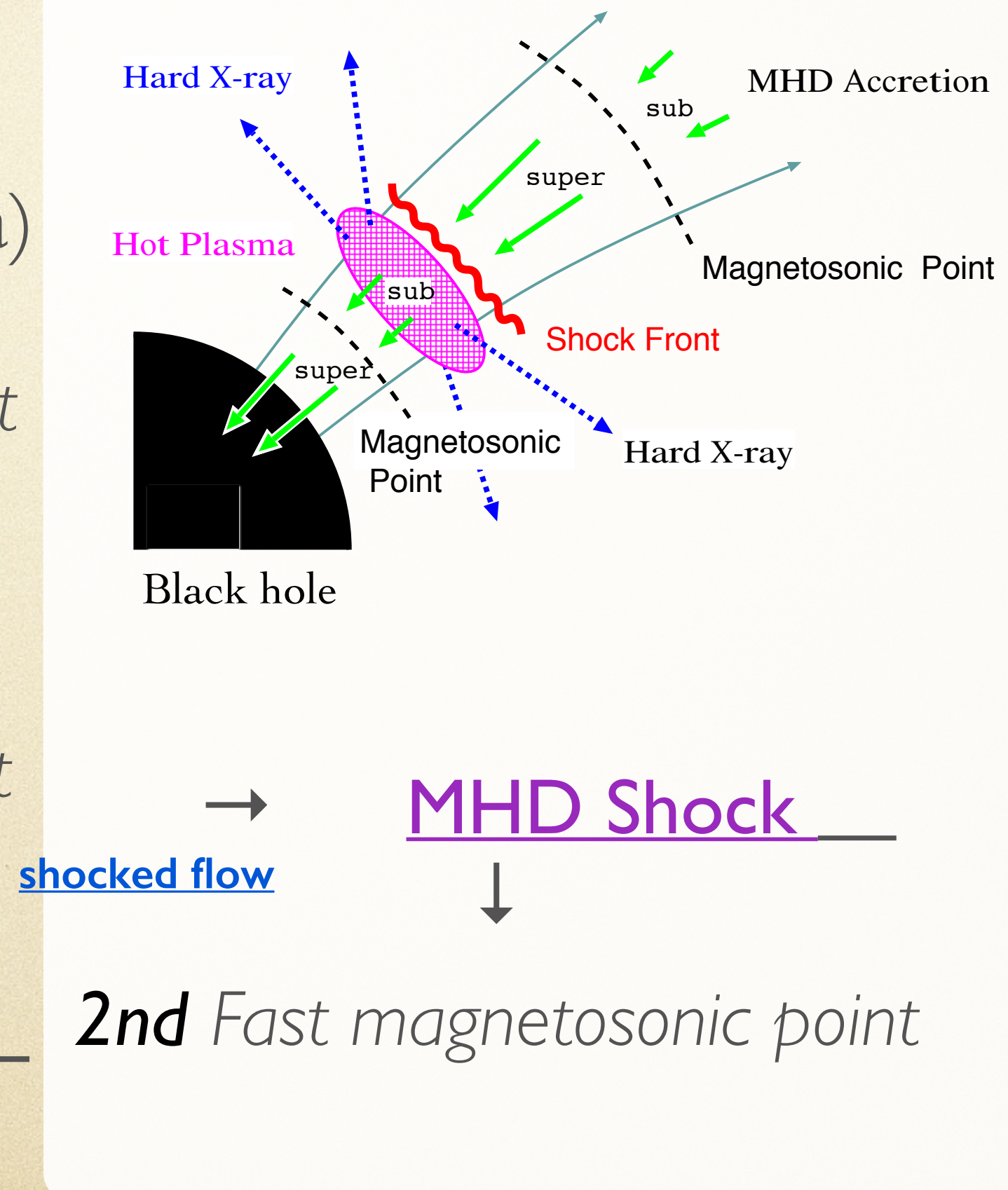
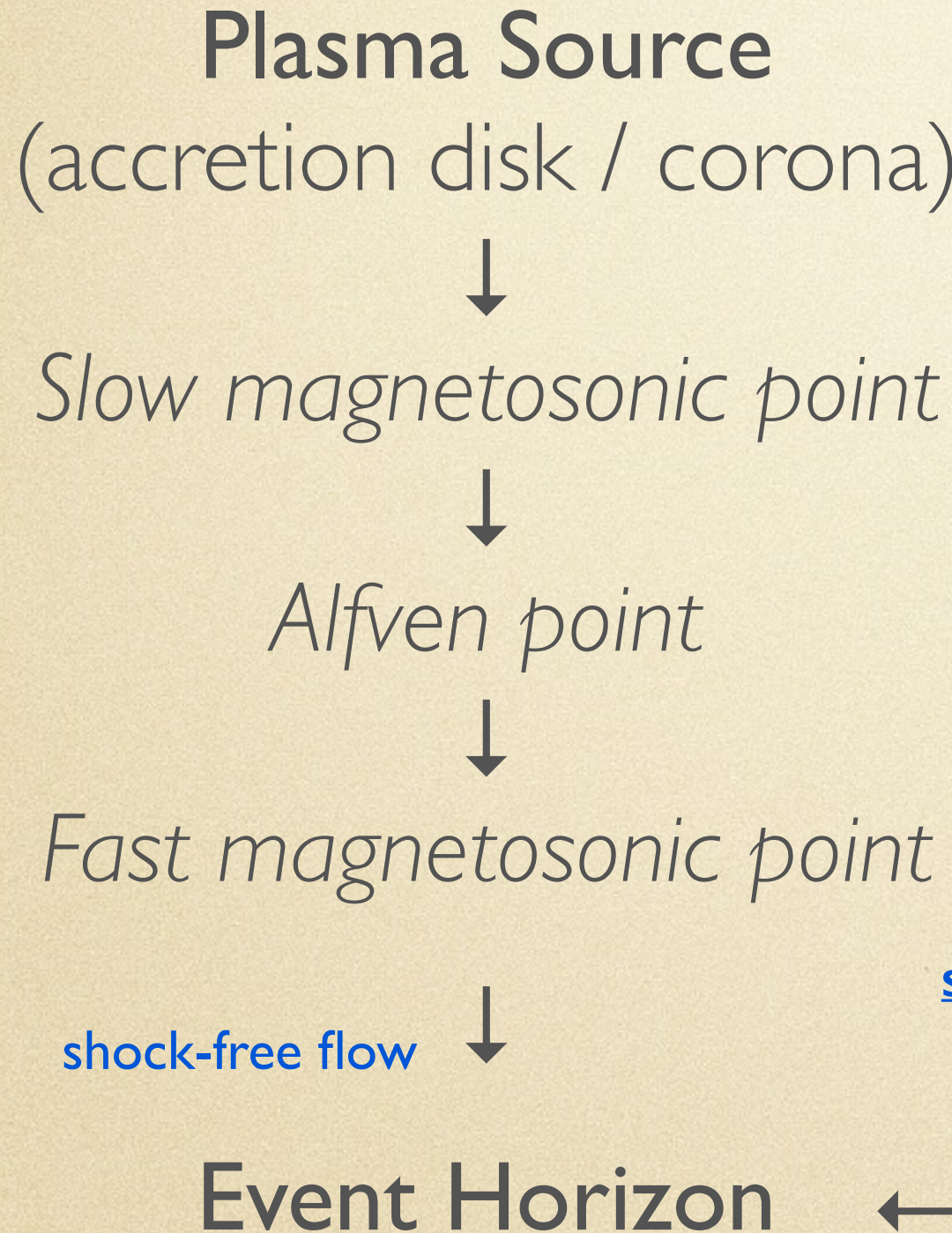
BH: rapidly rotating



Some critical points make regularity conditions.

Plasma source => Slow Point => Alfvén P. => Fast P. => Event Horizon  
(boundary conditions)

# 衝撃波で加熱：BH近傍からの放射（観測量となる）



# MHD ACCRETION ONTO BH

HOT PLASMA REGION  
FOR HIGH ENERGY RADIATION

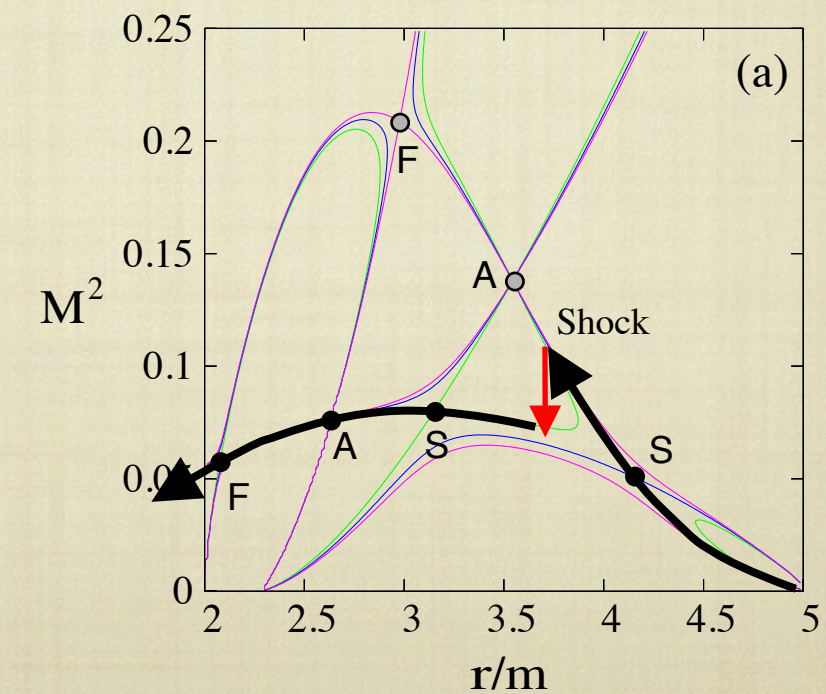
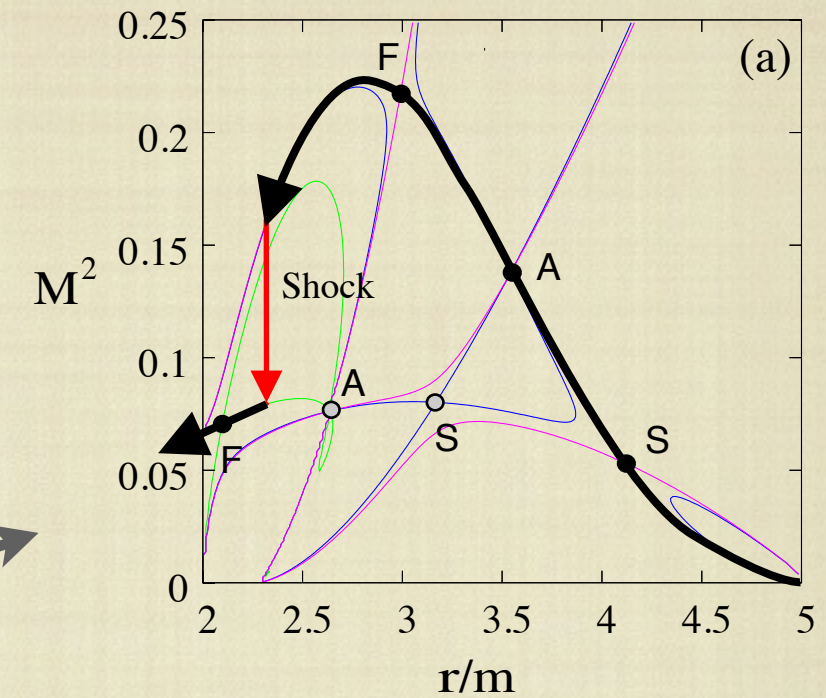
■ FAST MAGNETOSONIC  
SHOCK

● HYDRO-LIKE

● MAGNETO-LIKE

■ SLOW MAGNETOSONOC  
SHOCK

TAKAHASHI ET AL. 2006



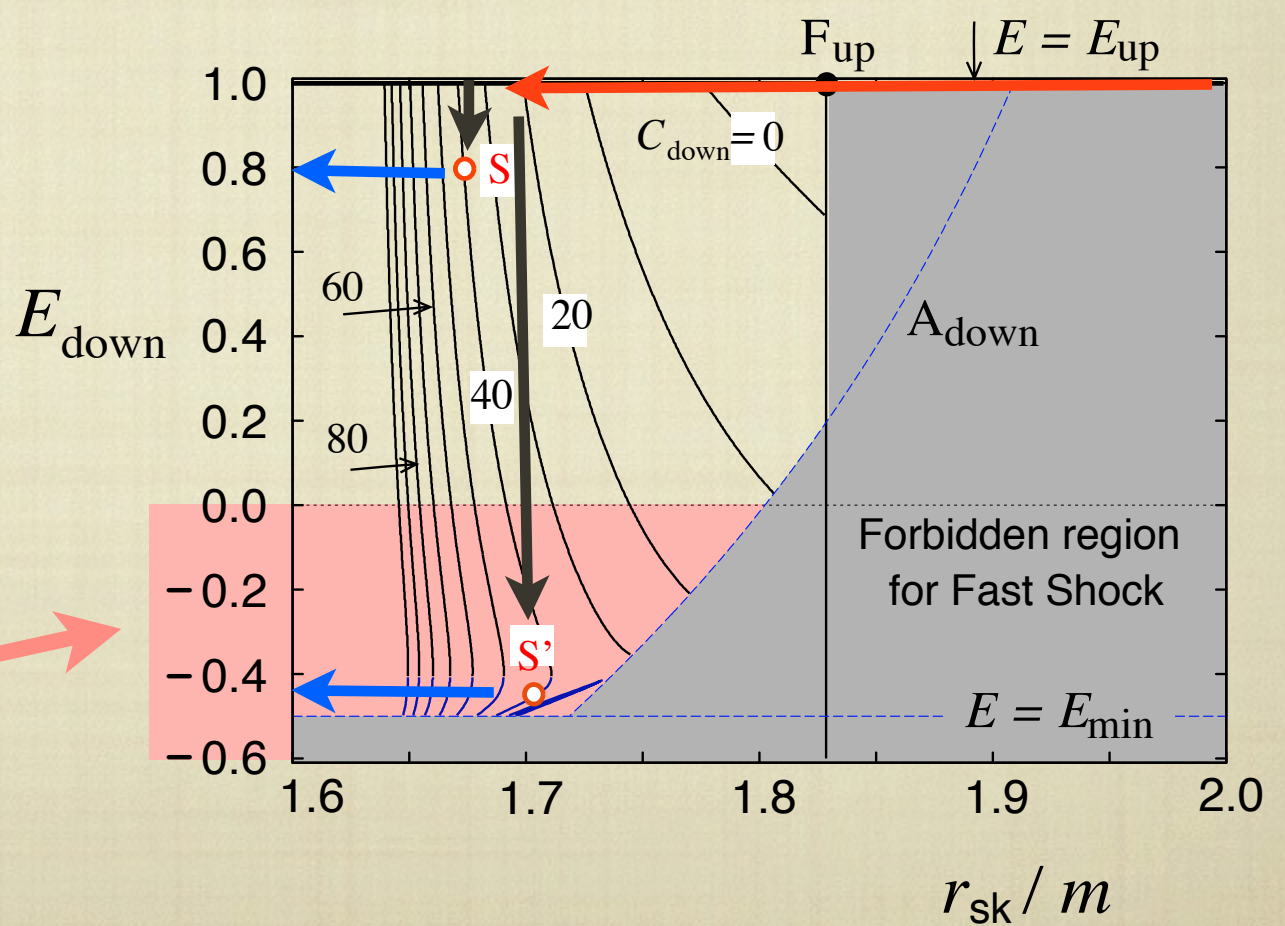
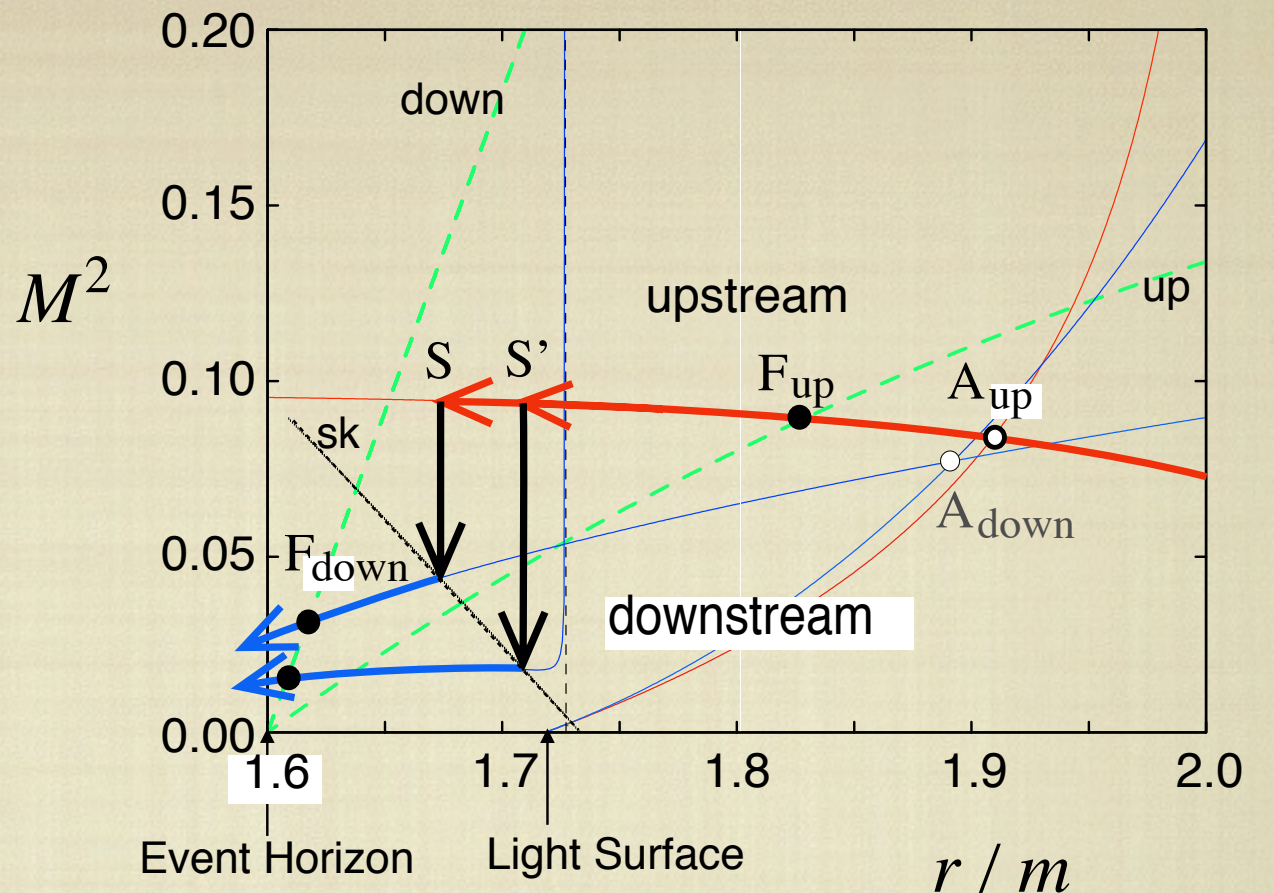
# BLACK HOLE MHD SHOCK

■ FAST MAGNETOSONIC  
SHOCK IN  
ERGOSPHERE

■ COLD UPSTREAM →  
COLD DOWNSTREAM

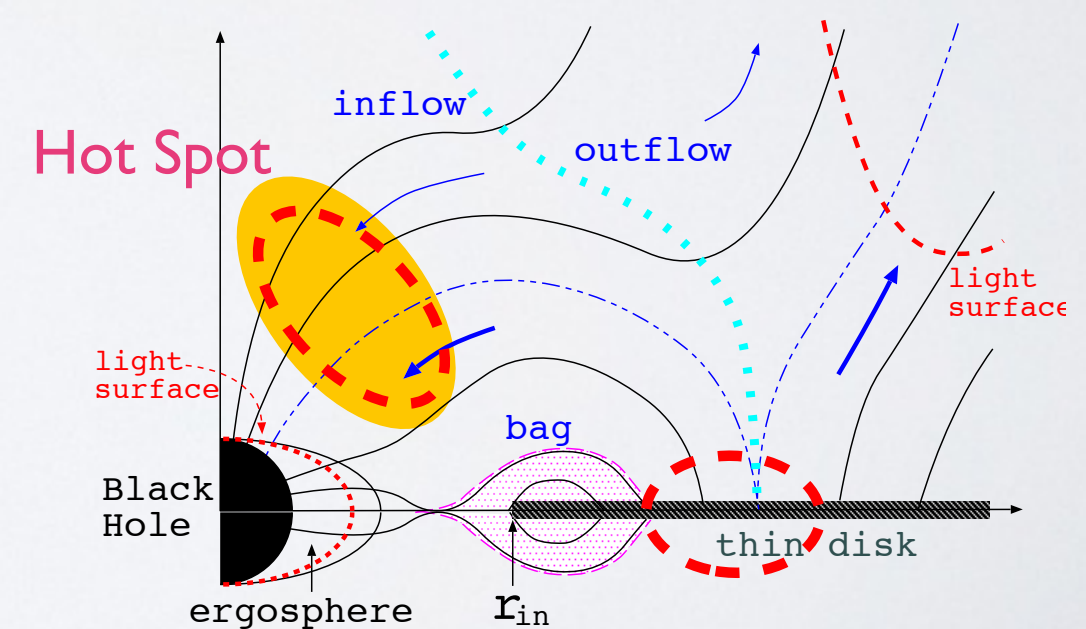
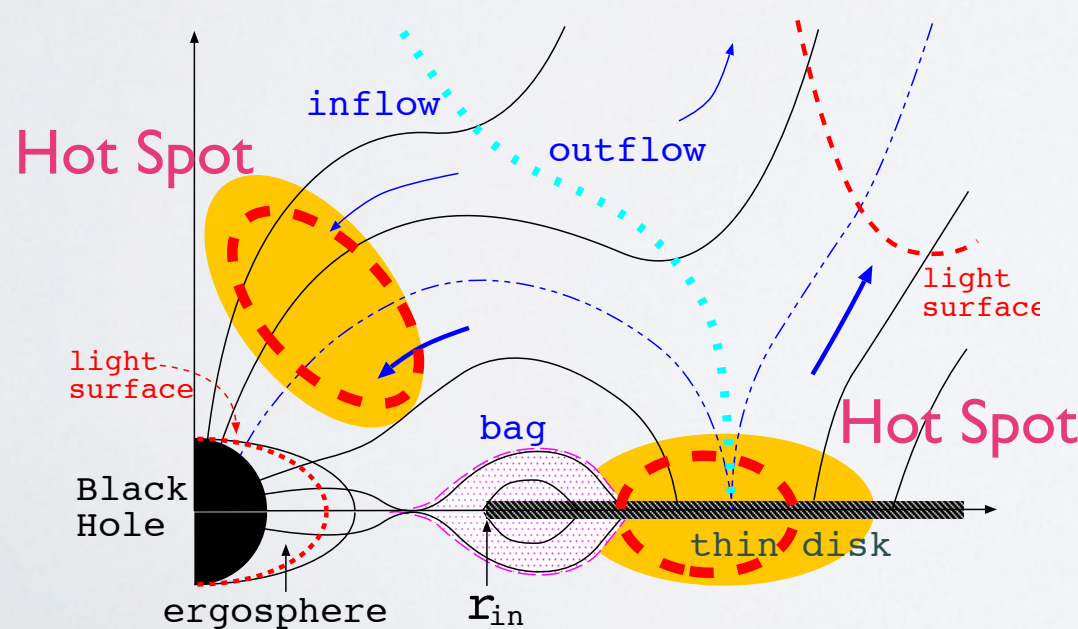
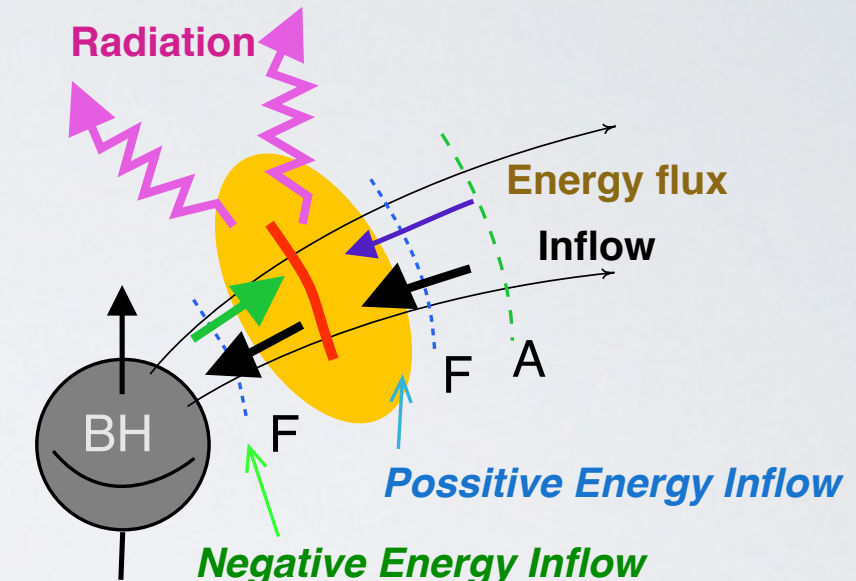
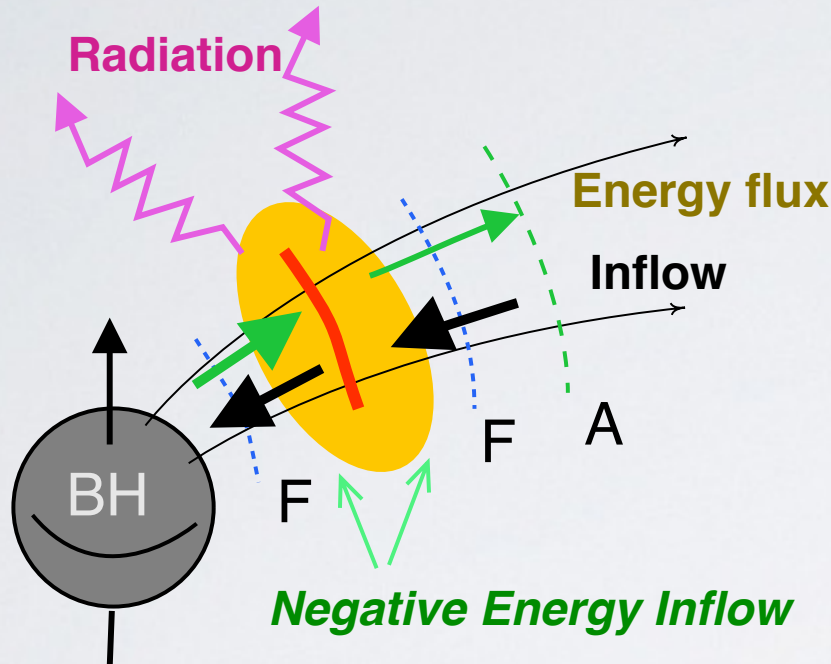
■  $S'$  :  $\Delta E > mc^2$

**NEGATIVE ENERGY  
INFLOW**



# Hot Spot powered by Rotating BH

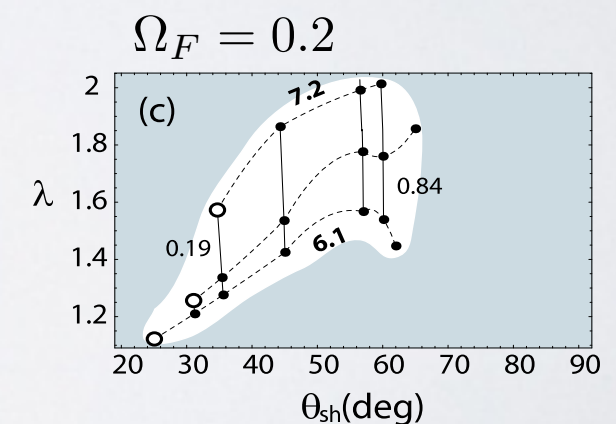
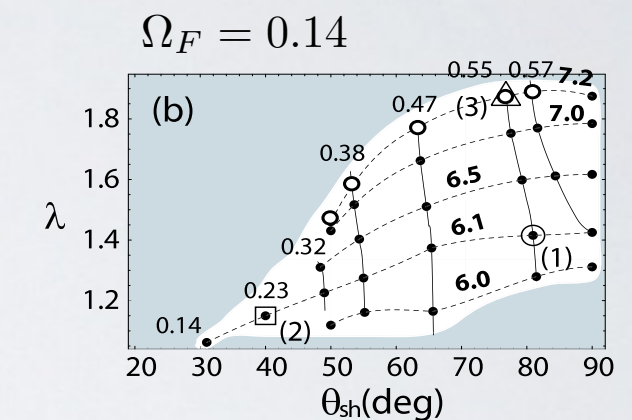
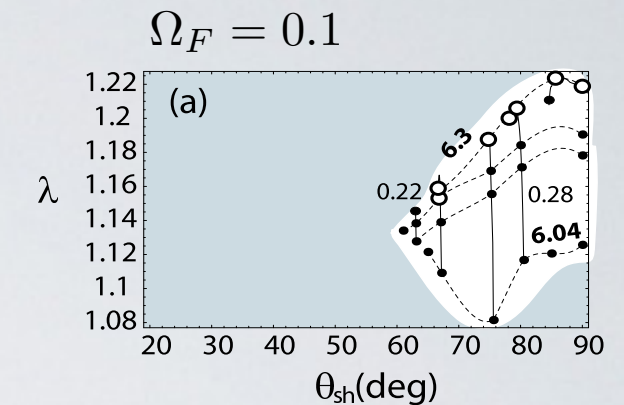
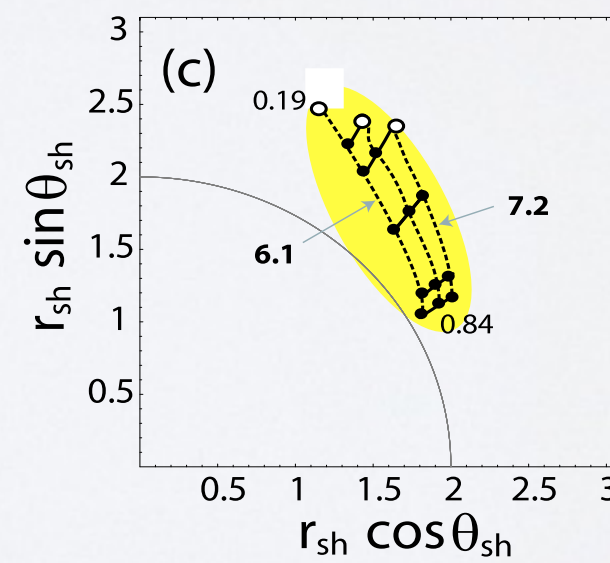
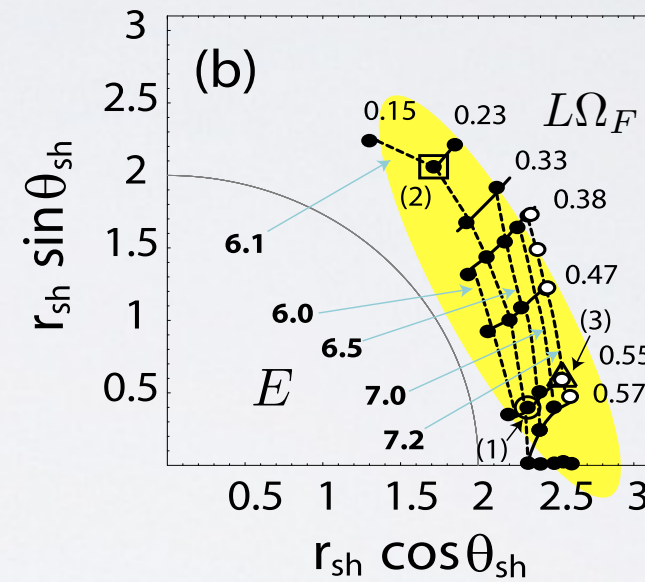
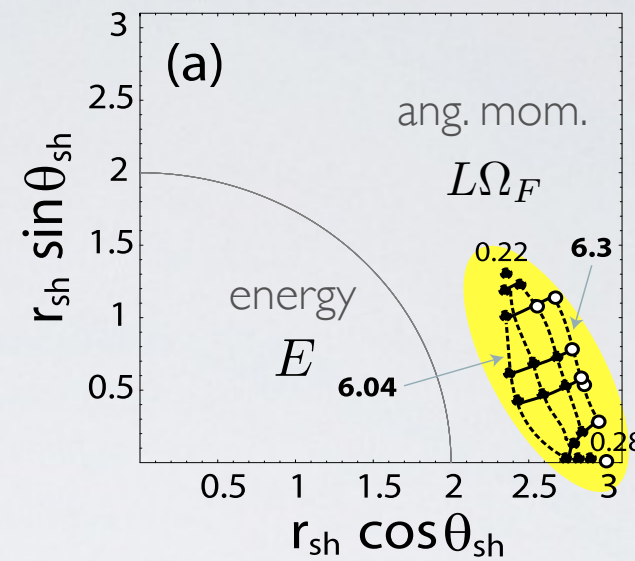
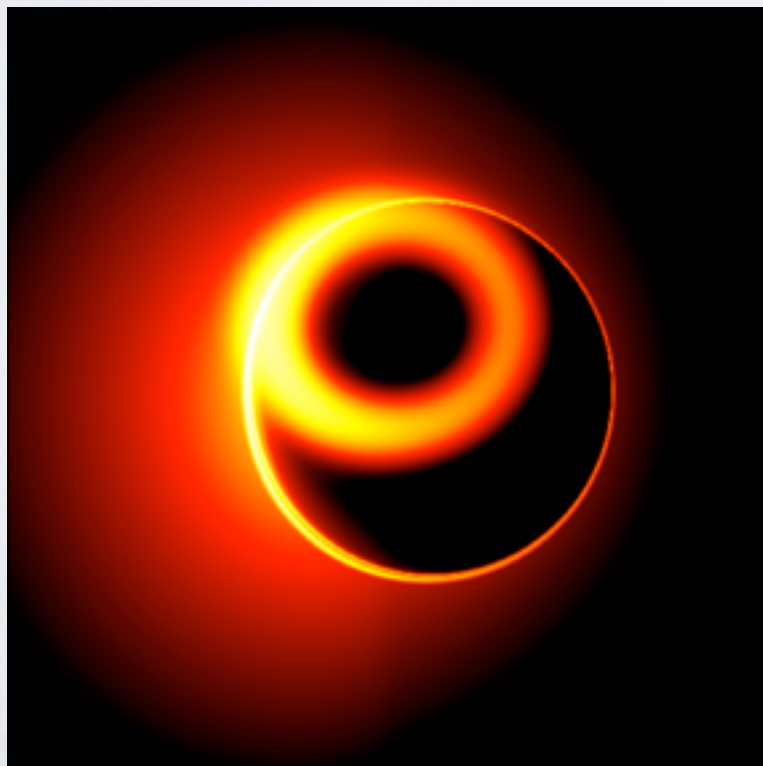
高エネルギー放射 = 観測できる!? 鉄輝線の光源?



# MHD Shock : Adiabatic cases (2)

Takahashi et al. (2006)  
Fukumura et al. (2007)

for example , , ,



Acceptable shock locations

# Black Hole Magnetosphere

GRMHD 定常解

# ブラックホール磁気圏モデル

磁場の源 : ring-current, disk-current

- **真空磁気圏**

No current in the magnetosphere

- **Force-free 磁気圏**

Magnetically-dominated magnetosphere

電流は磁力線に沿って流れる = 力なし

- **MHD磁気圏**

Magnetohydrodynamical Plasma

磁力線を横切る電流が存在 = プラズマ加速

MHD

# 磁気巻の解のために

- 流線に沿って5つの保存量が存在
- 磁力線に沿う方向の運動方程式
- 磁力線に垂直方向の力の釣り合いの式

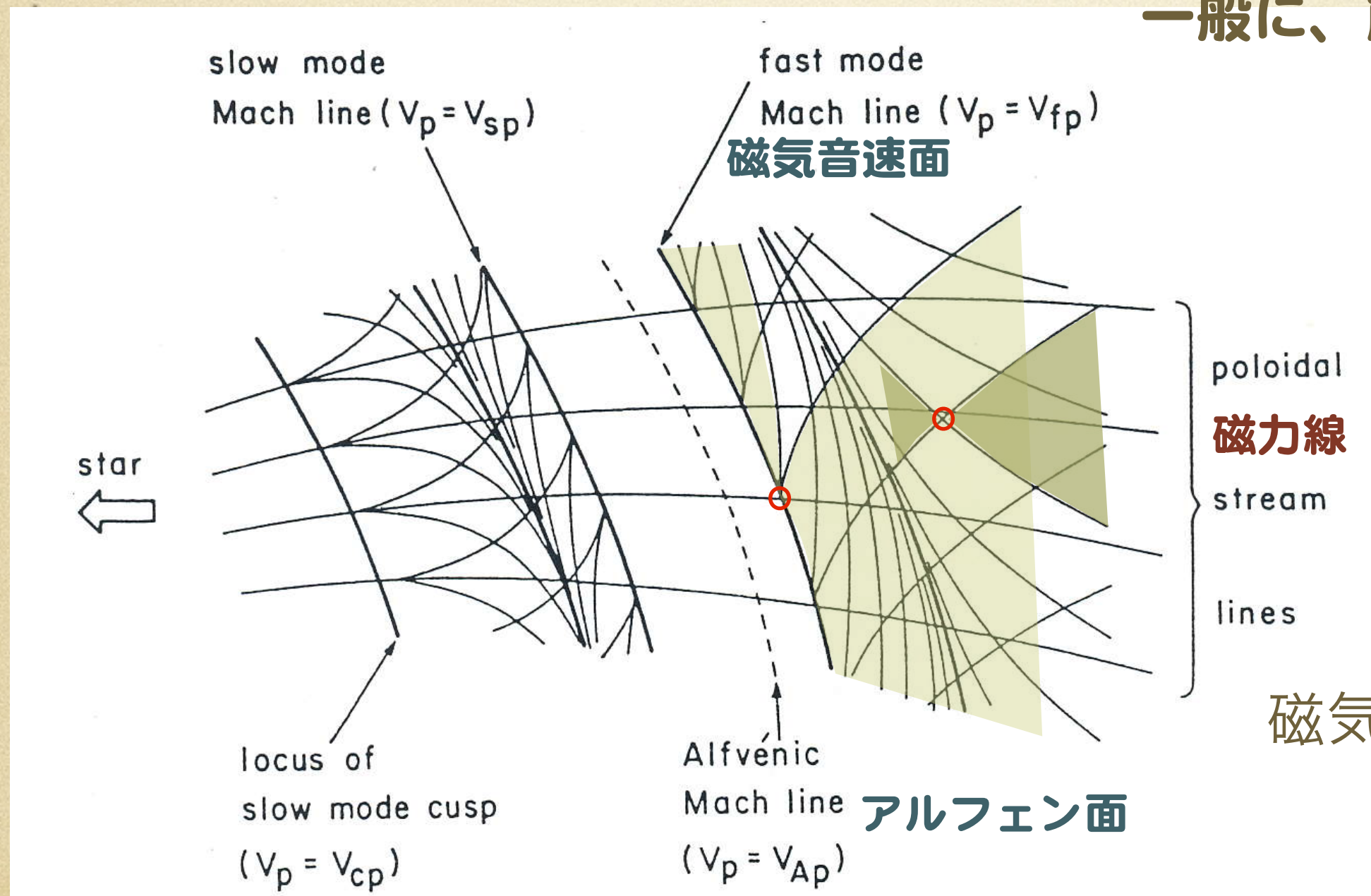
降着ガス円盤  
適切な境界条件@プラズマ源を考察して、  
上記を連立させて解く

# MHD磁気巻

定常解

- 楕円型と双曲型のハイブリッド方程式
- 境界値問題と波動方程式をイタレーティブに解く

一般に、解くのは困難！



磁気巻の因果関係  
Sakurai 1990

# BZ Flux

BLANDFORD & ZNAJEK (1977)

(1) Poynting-flux ( $r$ -componant):

$$\mathcal{E}^r(r, \theta) \equiv T^r{}_t = \epsilon_0 \frac{E_\theta B_\phi}{\sqrt{-g}}$$

where  $\sqrt{-g} = \Sigma \sin \theta$  ,  $\Sigma = r^2 + a^2 \cos^2 \theta$  and  $E_\theta = \Omega_F F_{\theta\phi} = \Omega_F A_{\phi,\theta}$  .

(2) The boundary condition at the horizon : toroidal component of magnetic fields

$$B_\phi^H[\Psi(\theta)] = (\omega_H - \Omega_F) \frac{(r_H^2 + a^2) \sin \theta}{\Sigma_H} (A_{\phi,\theta})_H$$

(3) Blandford-Znajek Power (Poynting-flux at the horizon):

$$\mathcal{E}_H^r[\Psi(\theta)] = \epsilon_0 \boxed{\Omega_F(\omega_H - \Omega_F)} \frac{(r_H^2 + a^2)}{\Sigma_H^2} \boxed{(A_{\phi,\theta})_H^2}$$

# BZ PROCESS

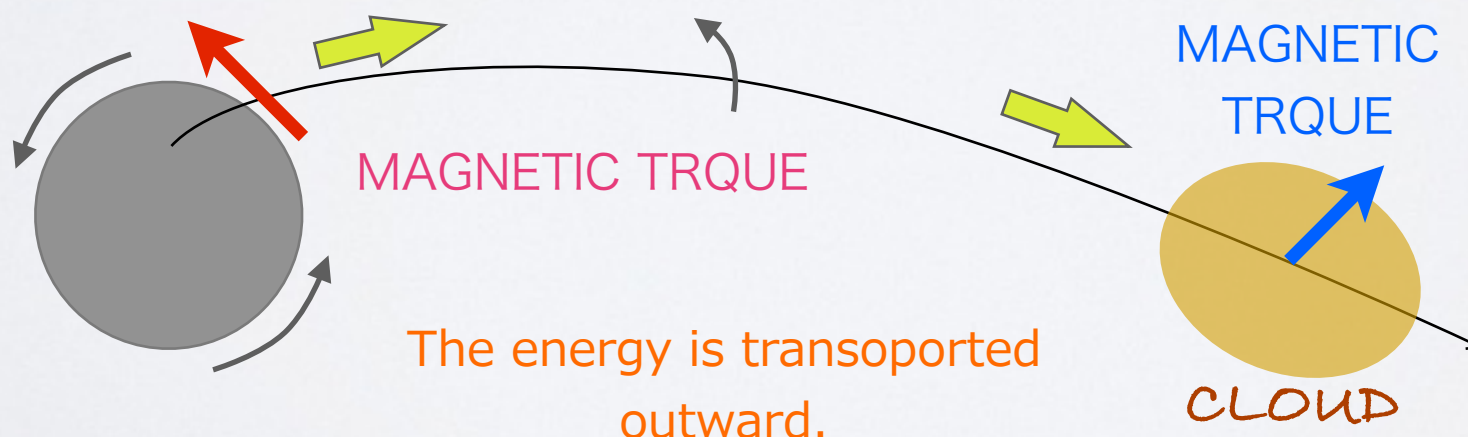
BLANDFORD & ZNAJEK (1977)

□ MAGNETIC TRQUE

$$T_\phi = \frac{1}{4\pi} B_p B_\phi \sim - \frac{(\omega - \Omega_F)}{4\pi\sqrt{-g}} \frac{(A_{\phi,\theta})^2}{\sqrt{\Sigma}}$$

□ ANGULAR MOMENTUM / ENERGY FLUX (WHEN  $B_\phi < 0$  ---> OUTWARD )

$$\mathcal{L}^r = -\sqrt{g_{\phi\phi}} T_\phi \quad \mathcal{E}^r = \Omega_F \mathcal{L}^r$$



When the **Alfven point** locates inside the **Ergosphere**,

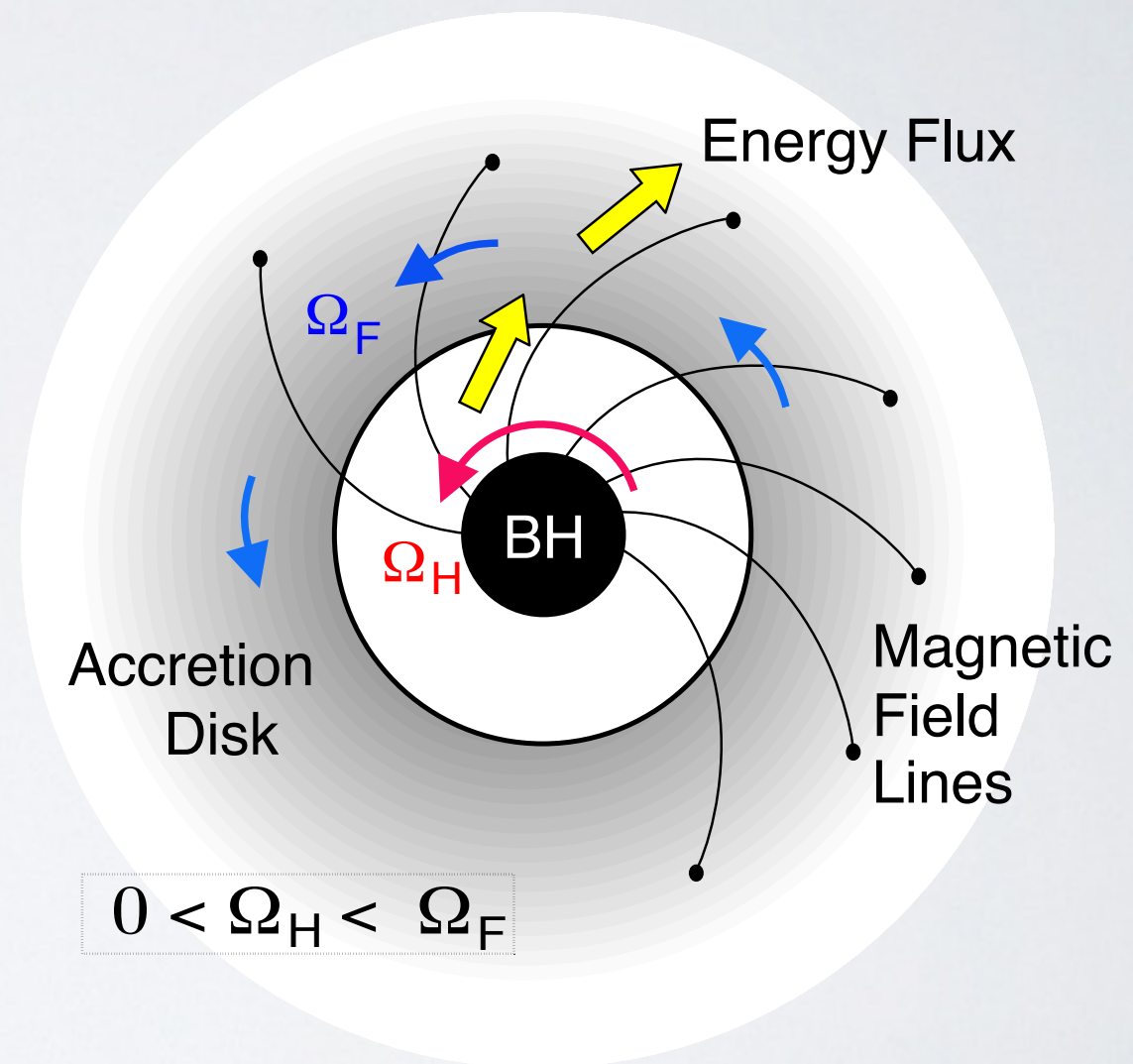
## Energy Extraction from Rotating BH by MHD Inflows      is possible.

$$E(\Psi) = \mu u_t - \frac{\Omega_F}{4\pi\eta} B_\phi$$

fluid part      EM part

—      +/—      —

Negative energy inflow      gas accretion      BZ process



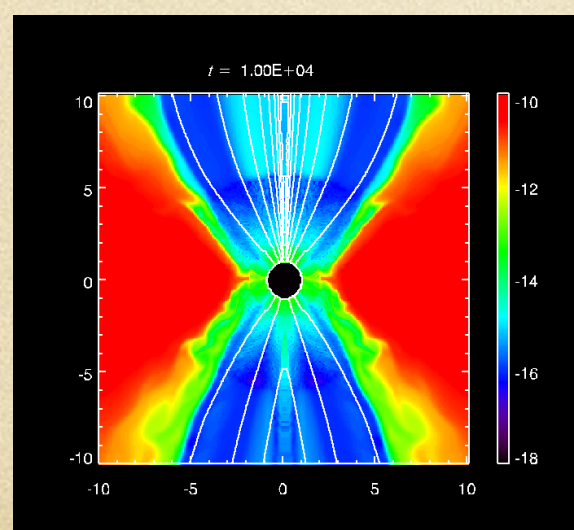
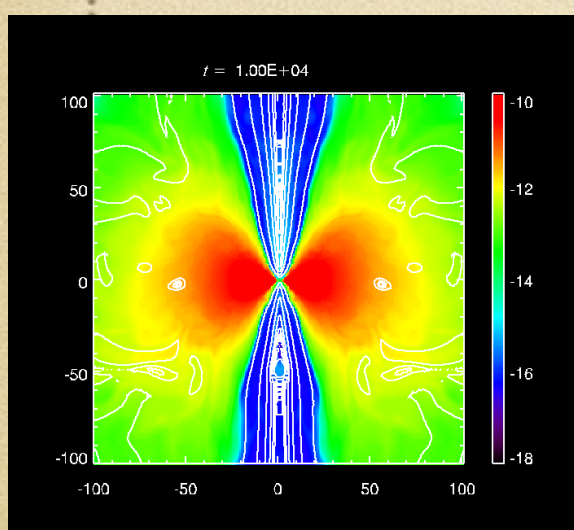
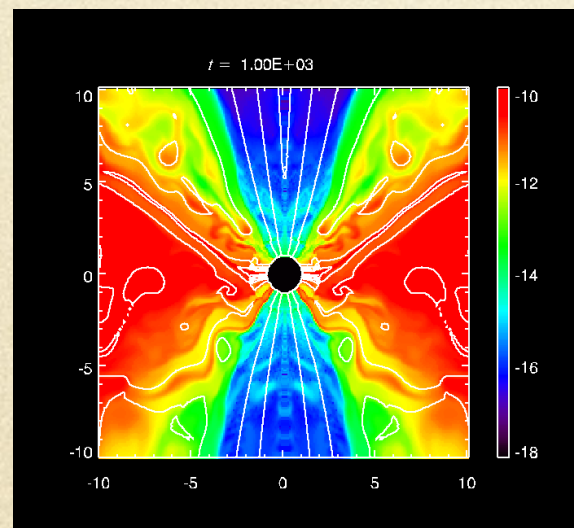
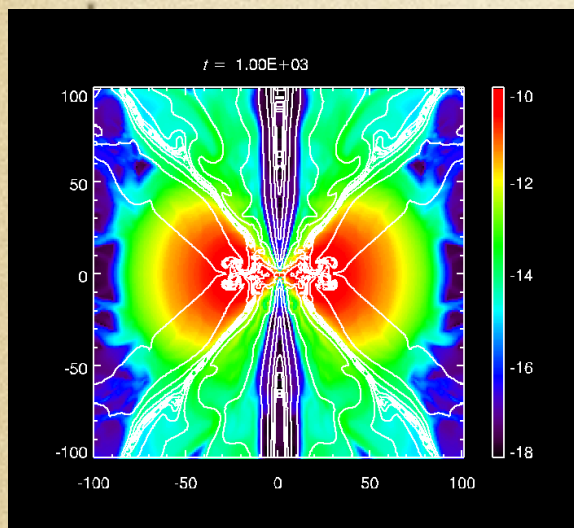
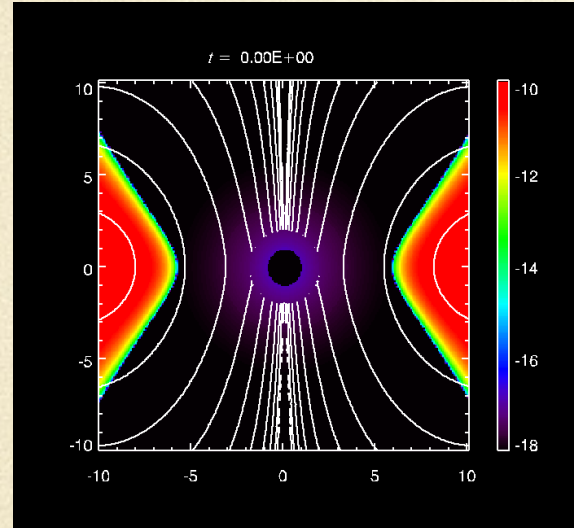
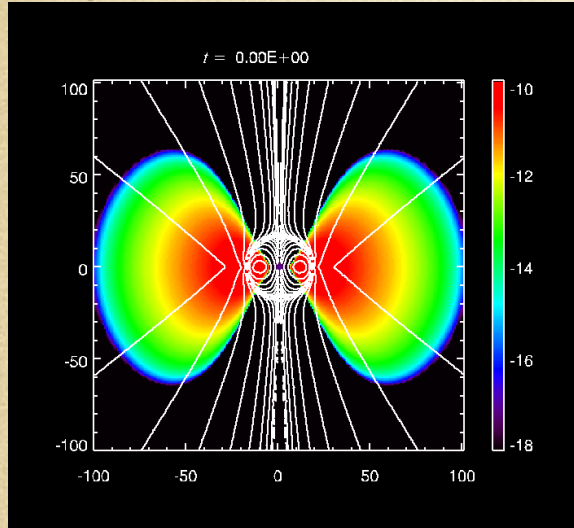
This situation would be possible  
in the BH magnetosphere  
( magnetically dominated off-equatorial region ).

(see M. Takahashi, et al. 1990)

# GRMHD Simulation

Maeda+ 2014

BH+Acc.Disk+Magnetosphere



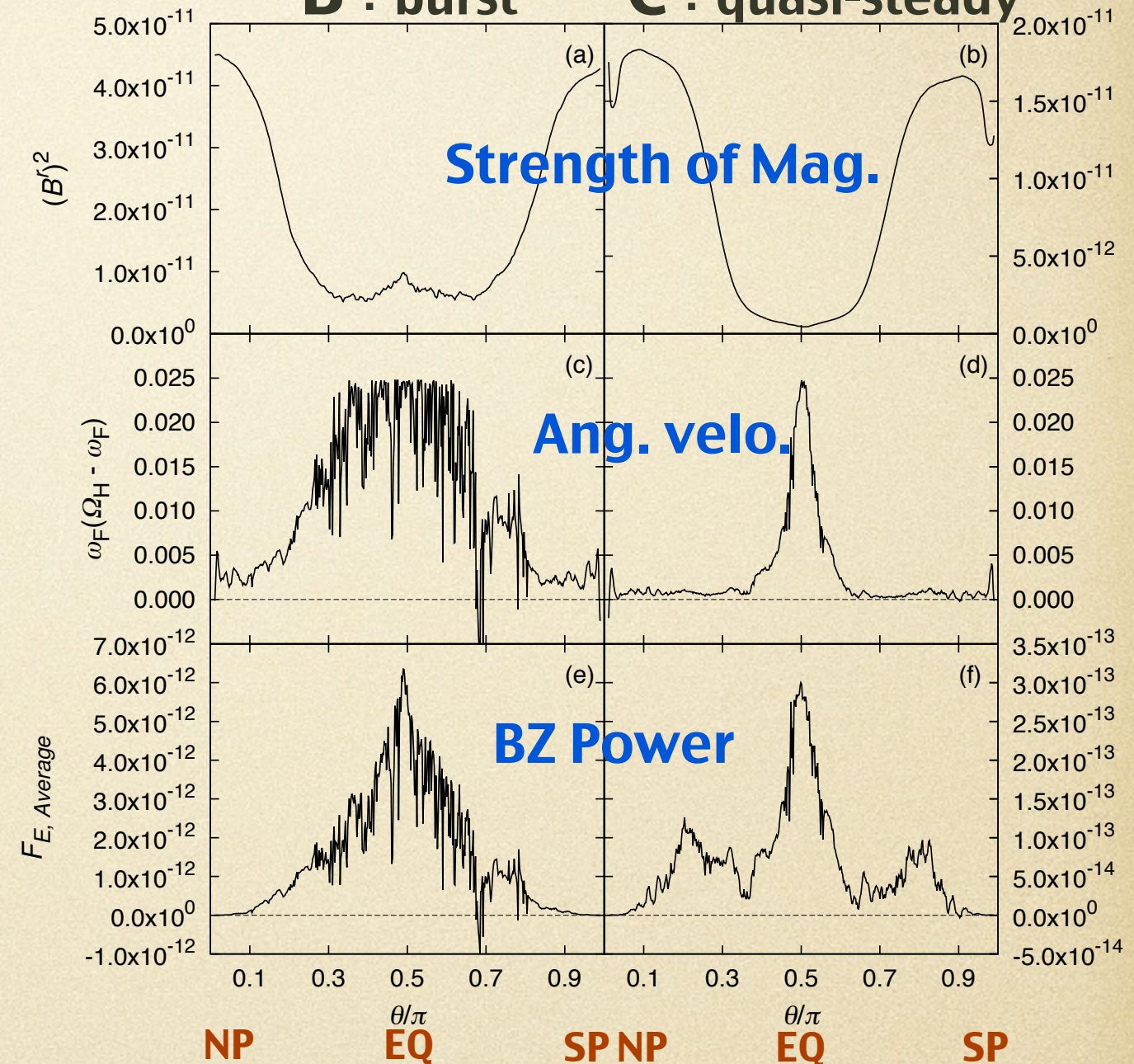
A

B

C

**B : burst**

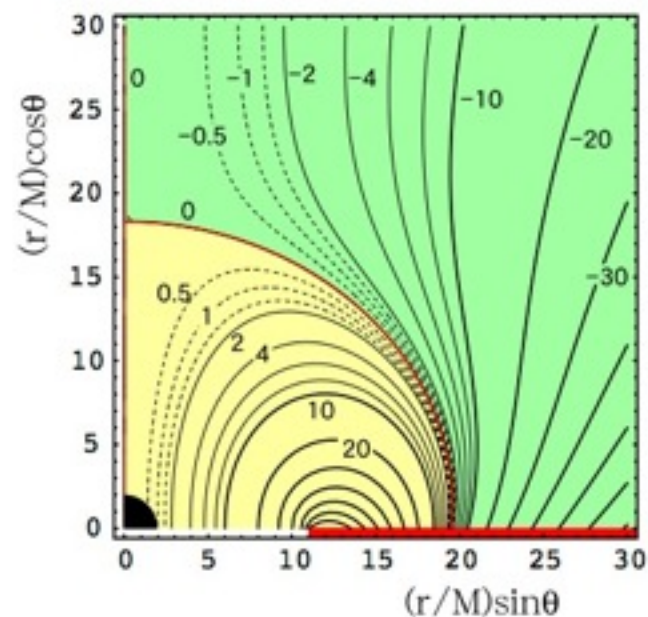
**C : quasi-steady**



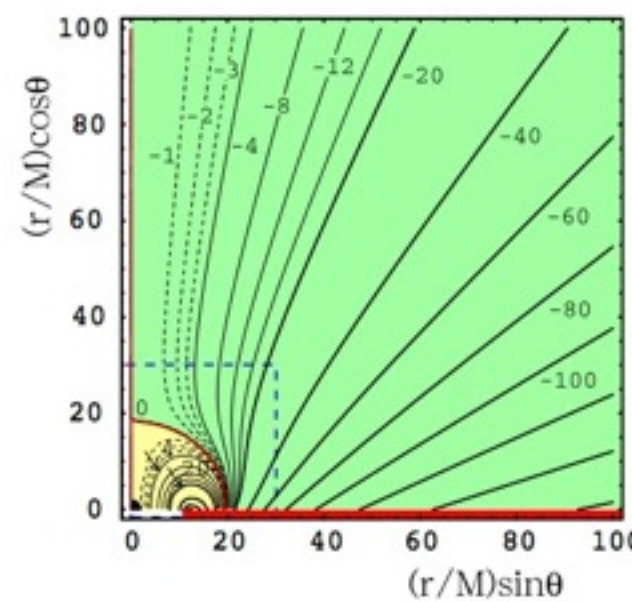
Angular Distribution of EM-Flux  
We can see the Max. in equatorial region !

**BZ-Power => Effect on Disk activity !**

vacuum Maxwell sol.

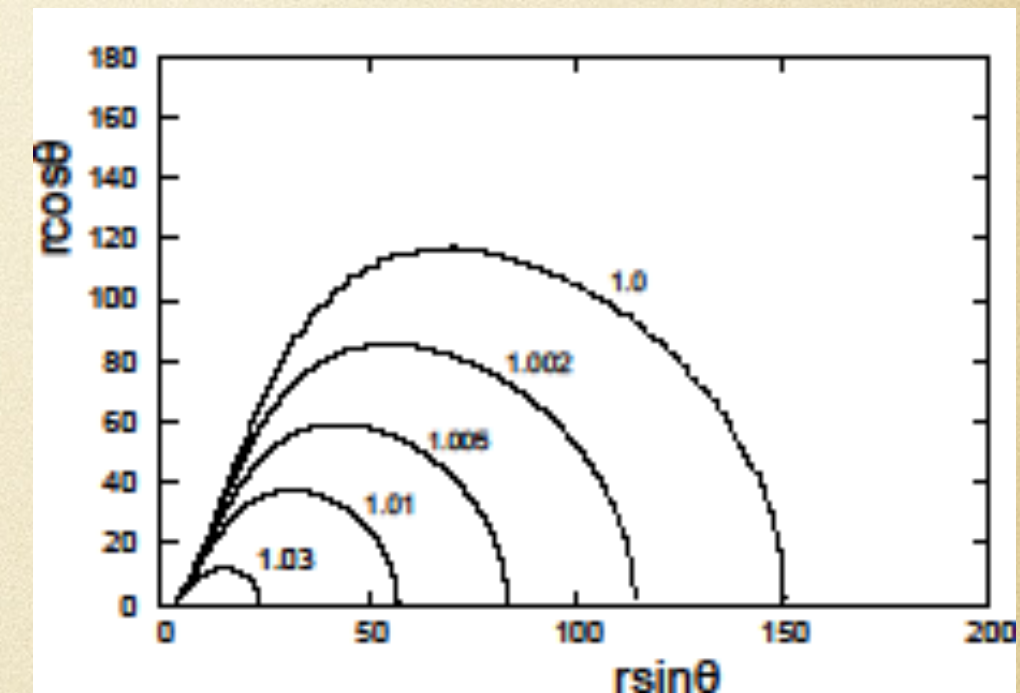


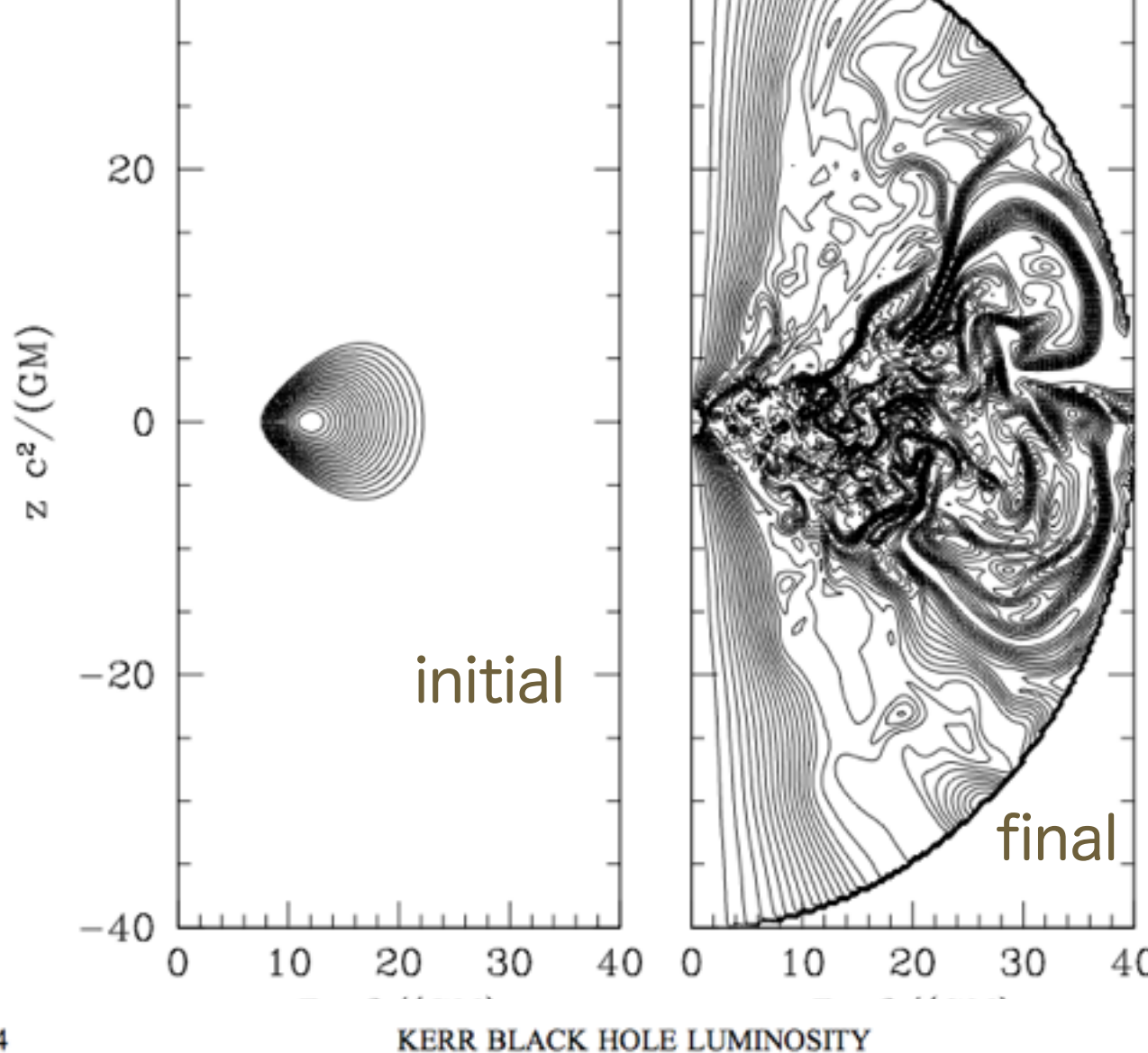
Tomimatsu & MT 2000



一般相對論的流體分布

Fishbone 1977





# GRMHD Simulation

*McKinney & Gammie 2004*

Maeda et al. とは異なる結果

磁場強度分布と角速度分布

初期磁場依存性 !

No. 2, 2004

KERR BLACK HOLE LUMINOSITY

989

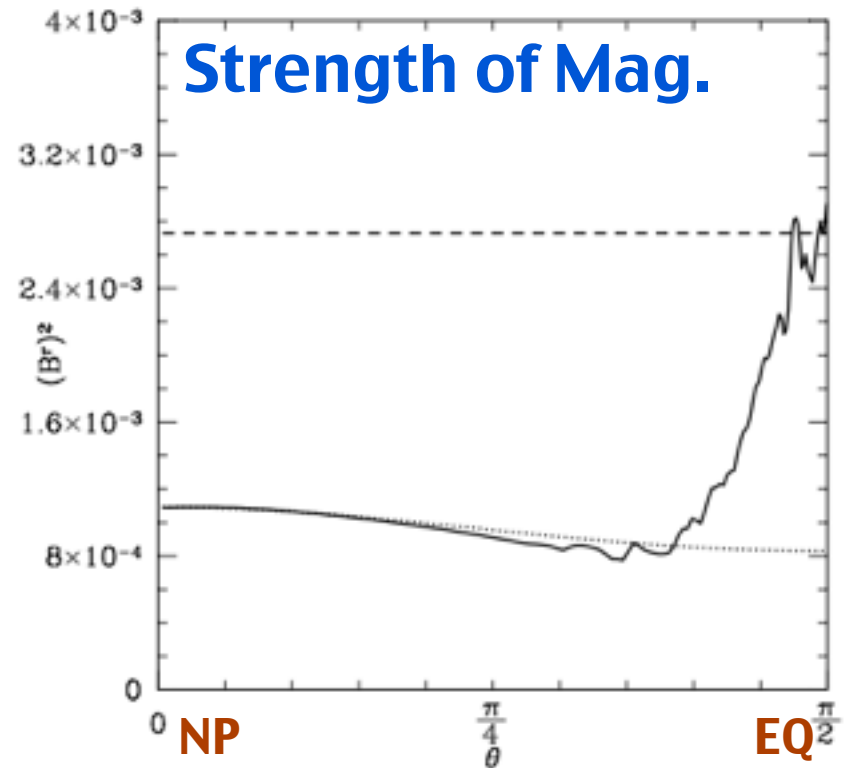


FIG. 9a

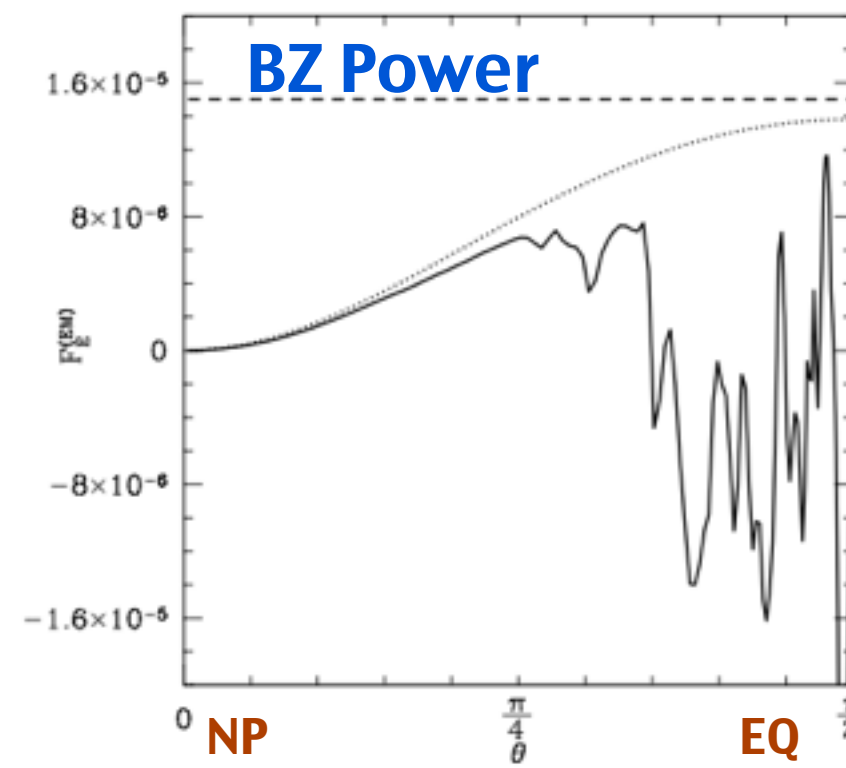
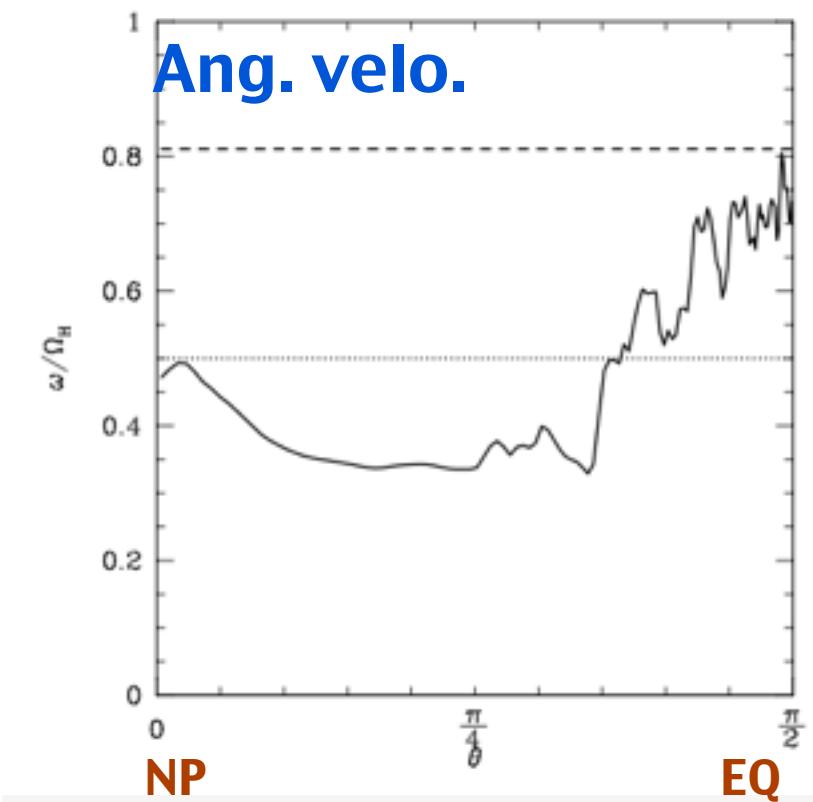


FIG. 9b

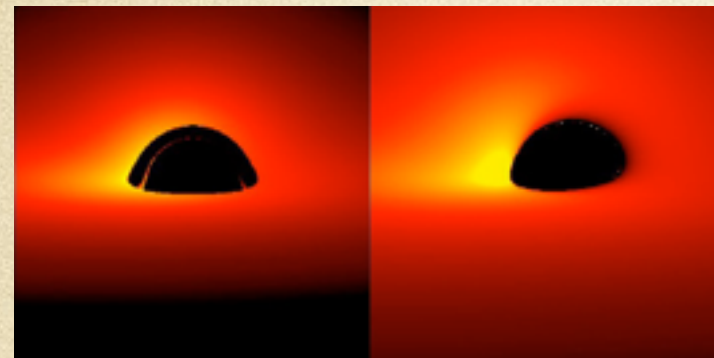


NP

EQ

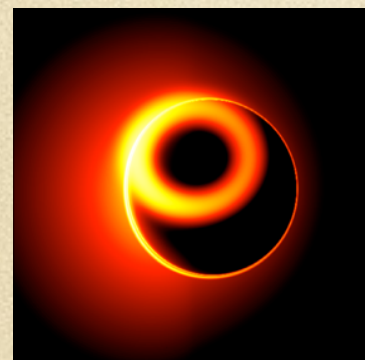
# Information of the black hole spacetime

Accretion Disk



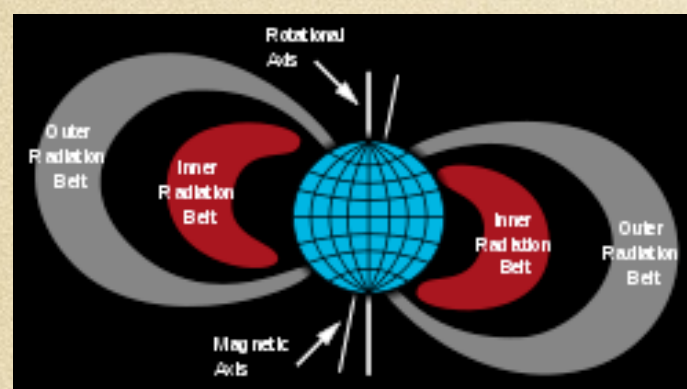
--- **Image** of the Black Hole Shadow  
and Accretion Plasma  
( sub-mm VLBI)

BH - Aurora



--- **HE-emission** from very close to  
the Event Horizon  
( X-ray,  $\gamma$ -ray)

BH - Van Allen radiation belt



--- The plasma can be  
trapped in this zone, which may be  
related to a **cosmic ray**.

# MHD wave propagation in BH magnetosphere

Eikonal 近似

# 波の伝播を求める手順

幾何光学近似

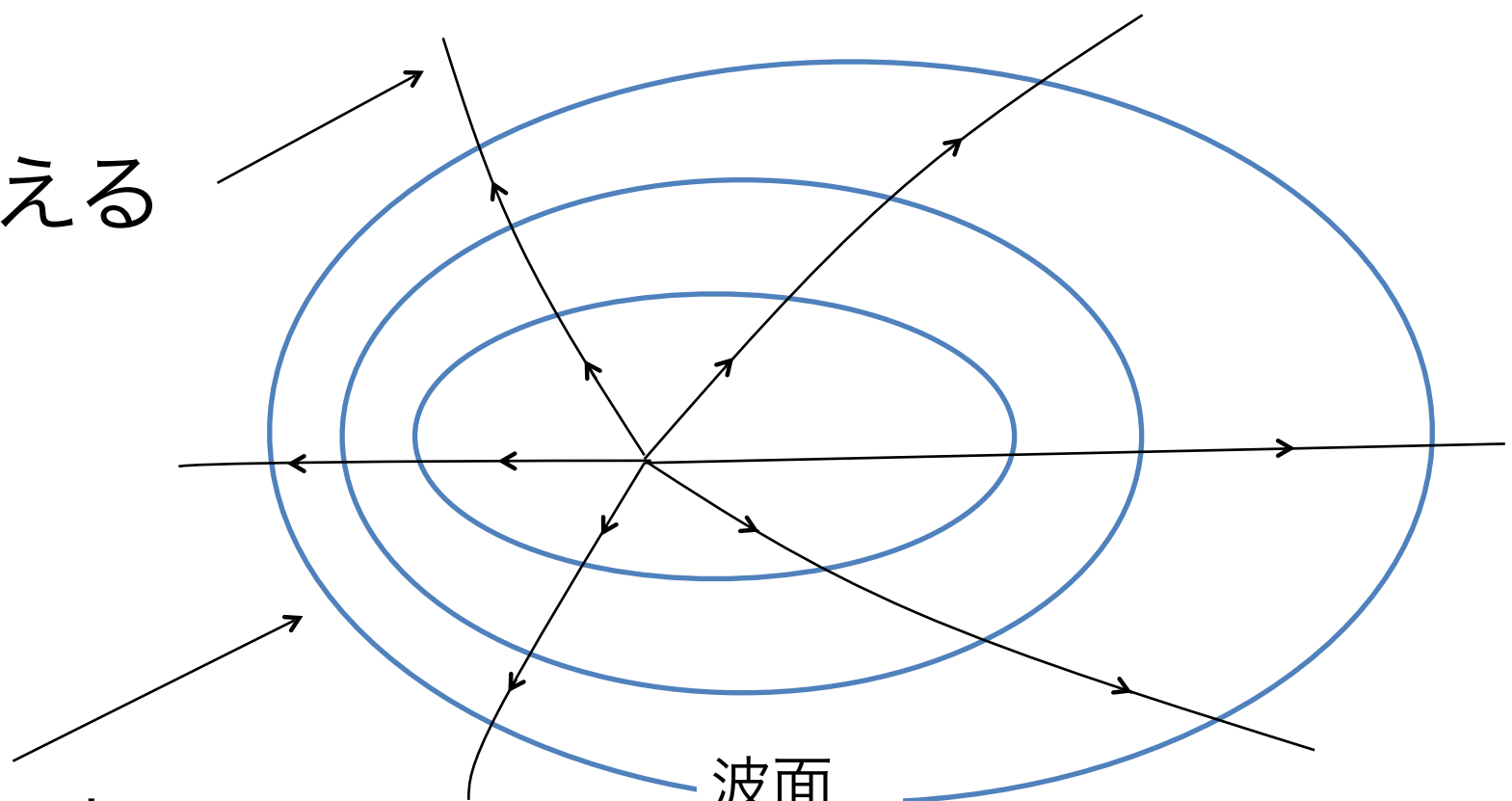
(波長が系の物理量の特徴的長さ  
よりも十分に小さいとみなす近似)

フェルマーの原理より

波動方程式  $\longrightarrow$  Eikonal 方程式  $\longrightarrow$  正準形式に書き直す

✿Eikonal方程式

波の特性曲線を与える  
(射線)



時間の一定面=波面

# Eikonal方程式と有効ポテンシャル

形式的な表式

$$A^{\alpha\beta} p_\alpha p_\beta = 0$$

$A^{\alpha\beta}$  : メトリック  $p_\alpha$  : 波の運動量

正準形式

$$\dot{x}^\alpha(\lambda) = \frac{\partial H(x^\alpha, p_\alpha)}{\partial p_\alpha}$$

$$\dot{p}_\alpha(\lambda) = -\frac{\partial H(x^\alpha, p_\alpha)}{\partial x^\alpha}$$

## ○光波の伝播 (Kerr BHメトリック)

$$A^{\alpha\beta} = g^{\alpha\beta}$$

## ○音波の伝播 (sound sonic メトリック)

$$A^{\alpha\beta} = s^{\alpha\beta} = g^{\alpha\beta} - \left(1 - \frac{1}{a_s^2}\right) u^\alpha u^\beta$$

$a_s$  : 音波の速さ

$$a_s^2 = (\gamma - 1) \frac{h - 1}{h}$$

$u_\alpha$  : 流体の4元速度

## ●磁気流体波の伝播 (Magnetosonic メトリック)

$$A^{\alpha\beta} = M^{\alpha\beta} = g^{\alpha\beta} - \left(1 - \frac{1}{V_{MW}^2}\right) u^\alpha u^\beta$$

$V_{MW}$  : 磁気流体波の速さ

有効ポテンシャルを定義

$$V_\pm^{1/2} \equiv \frac{E}{|L|} = \frac{\pm A^{t\phi} + \sqrt{(A^{t\phi})^2 - A^{tt} A^{\phi\phi}}}{A^{tt}}$$

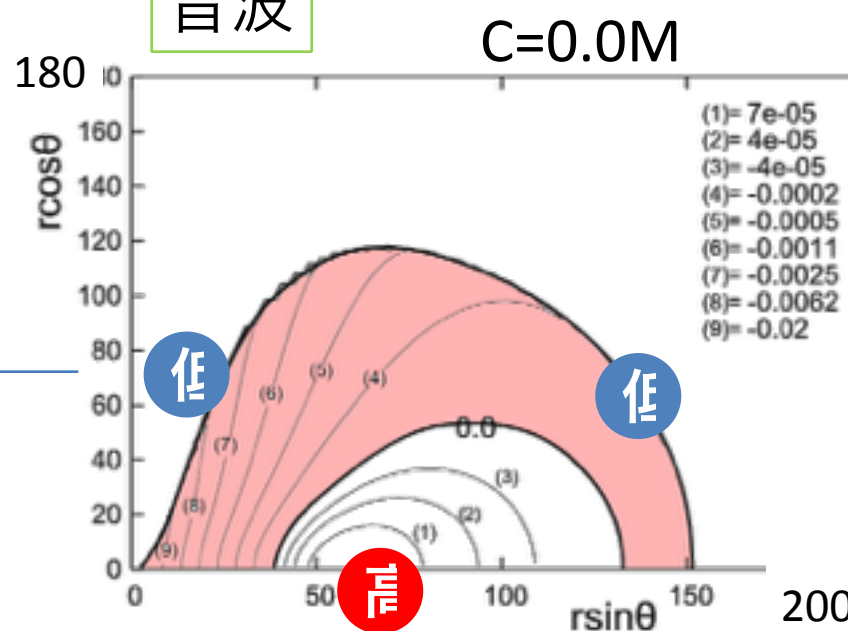
波の大まかな  
伝播方向を議論

# 有効ポテンシャル ( $L < 0$ )

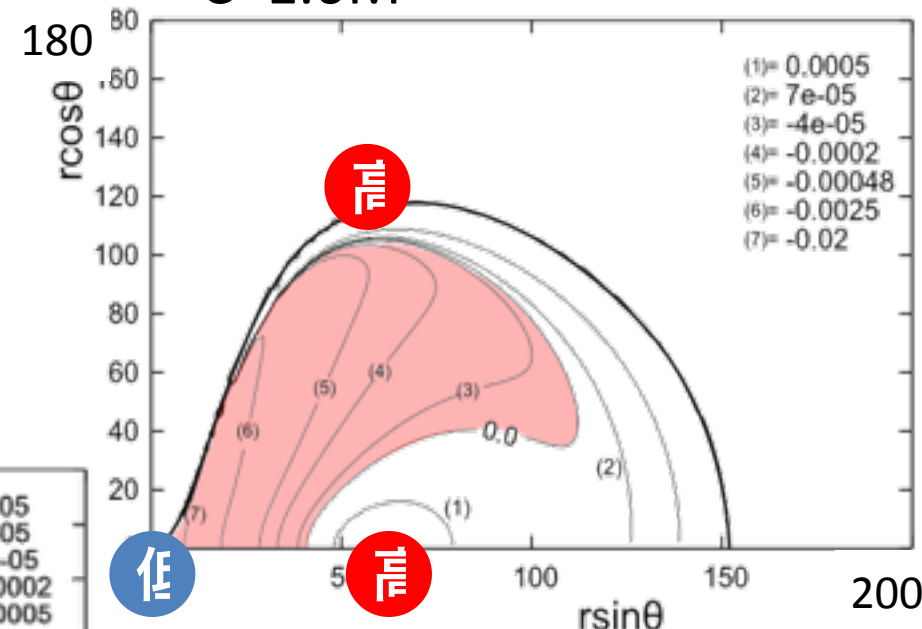
流体のパラメータ :  $a = 0.8M$ ,  $\ell = 3.0M$ ,  $r_{\text{in}} = 2.85M$ ,  $\gamma = 4/3$

Paraboloidal 磁場強度分布

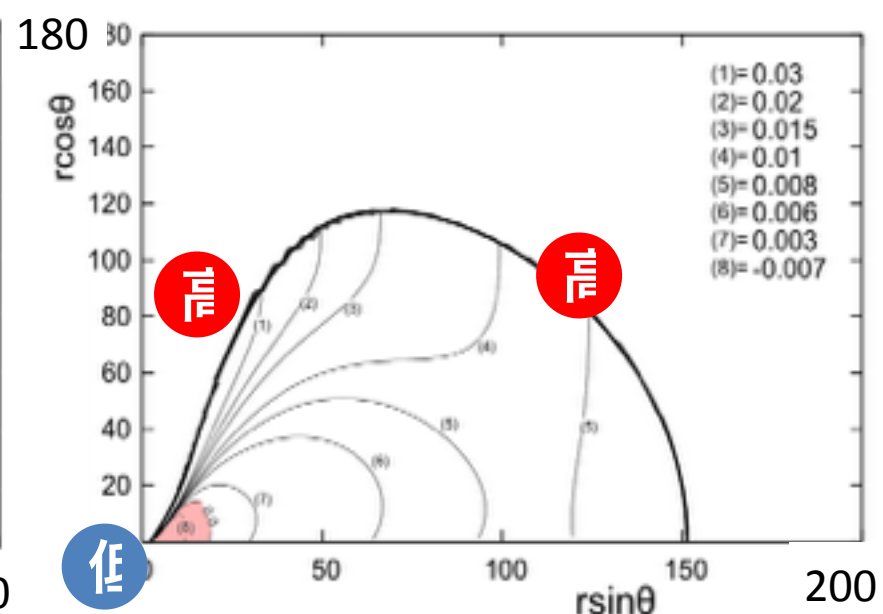
音波



C=1.0M



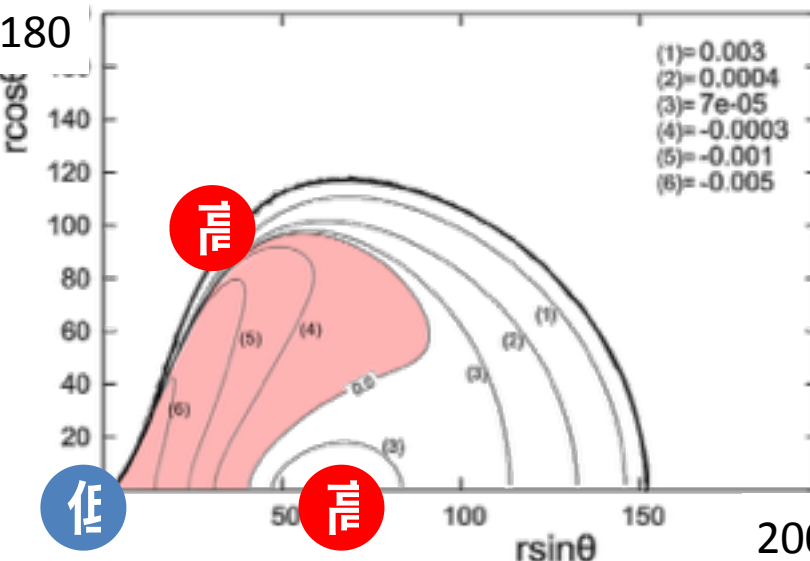
C=6.0M



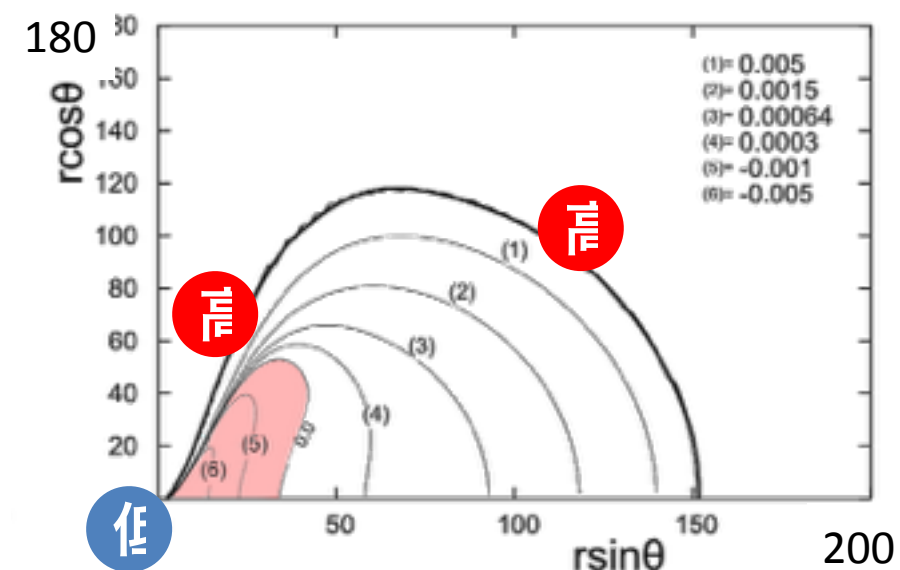
磁場強度を強くする

Split-monopole 磁場強度分布

C=3.0M



C=20M

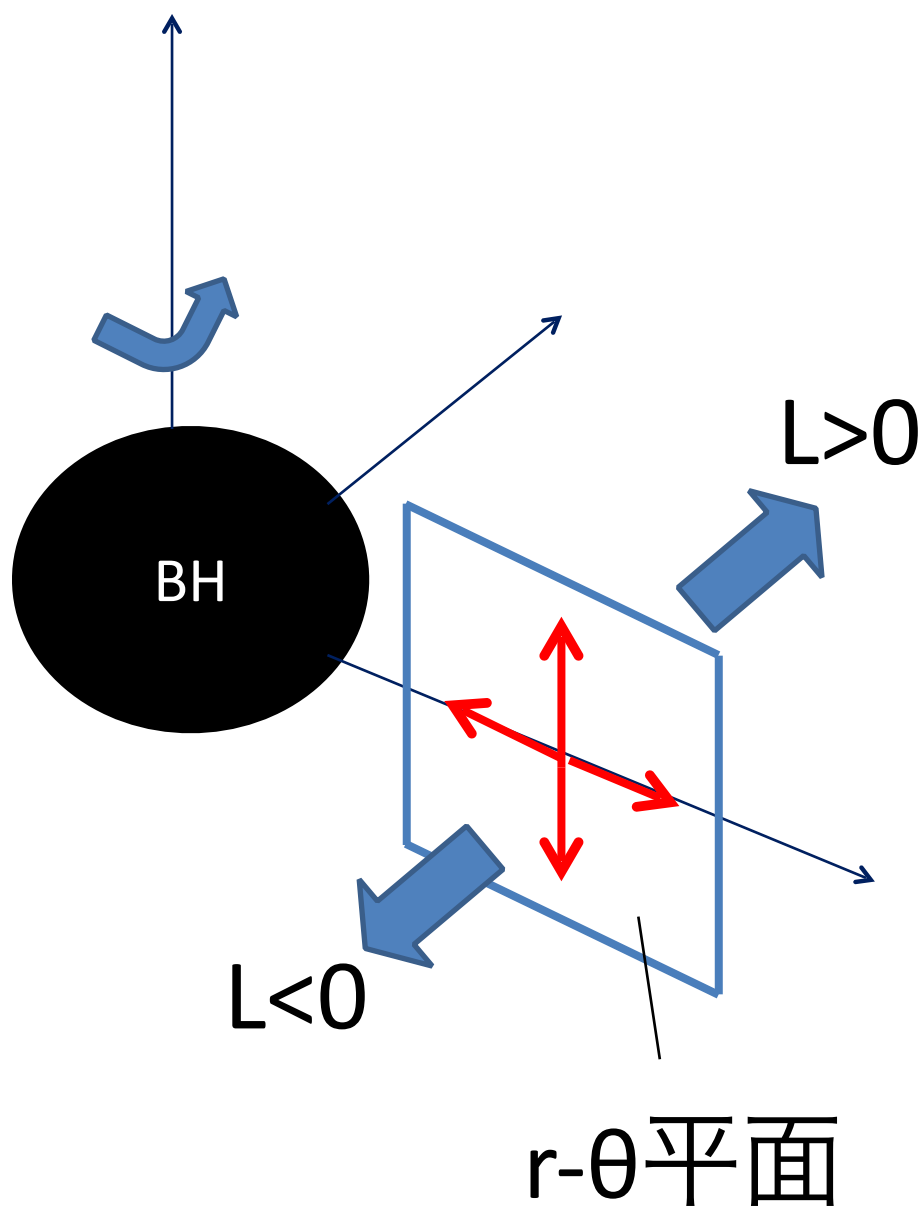


# 有効ポテンシャルと波の伝播

$L>0$  BHと同じ方向の運動量成分（正の角運動量）

$L<0$  BHと逆方向の運動量成分（負の角運動量）

波の初期値の与え方



エネルギー、角運動量は一定

$$L = -p_\phi = \text{const}$$

$$E = p_t = \text{const}$$

$p_\theta$ の決め方

$$(p_\theta)_\pm \equiv \pm \sqrt{-(g^{tt}p_tp_t + 2g^{t\phi}p_tp_\phi + g^{\phi\phi}p_\phi p_\phi)/g^{\theta\theta}}$$

$$(p_\theta)_- \leq p_\theta \leq (p_\theta)_+$$

$p_r$ の決め方

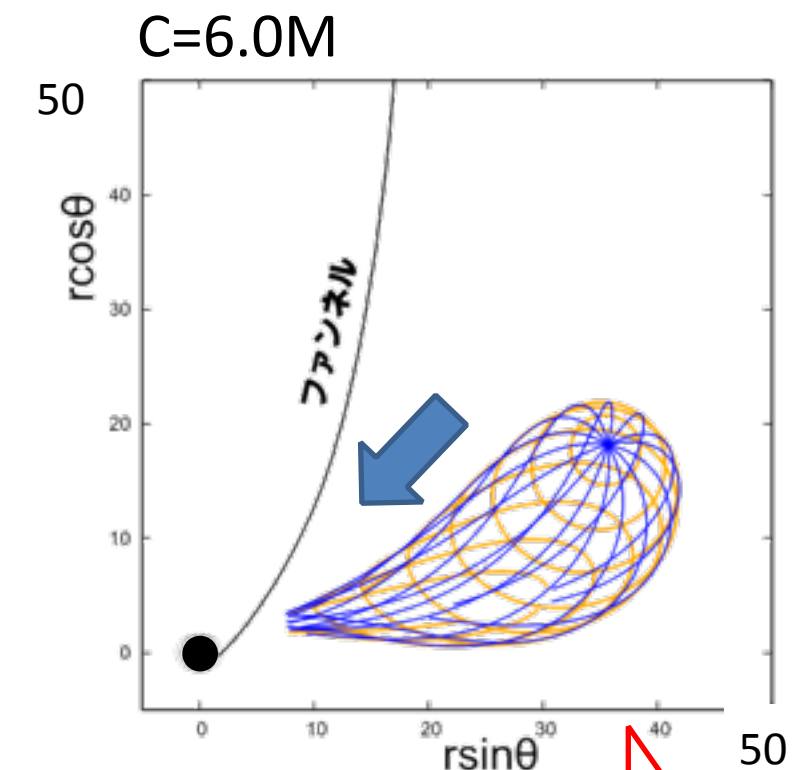
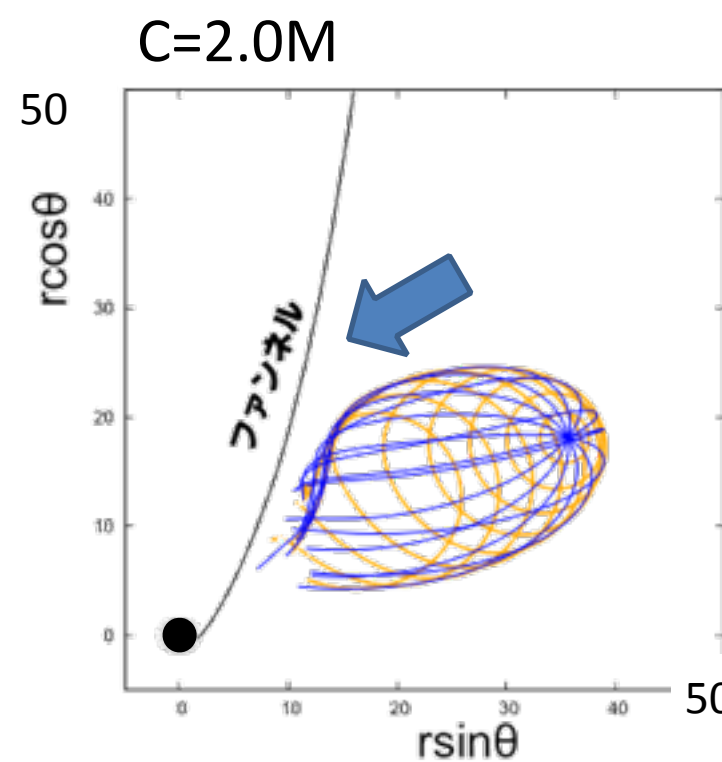
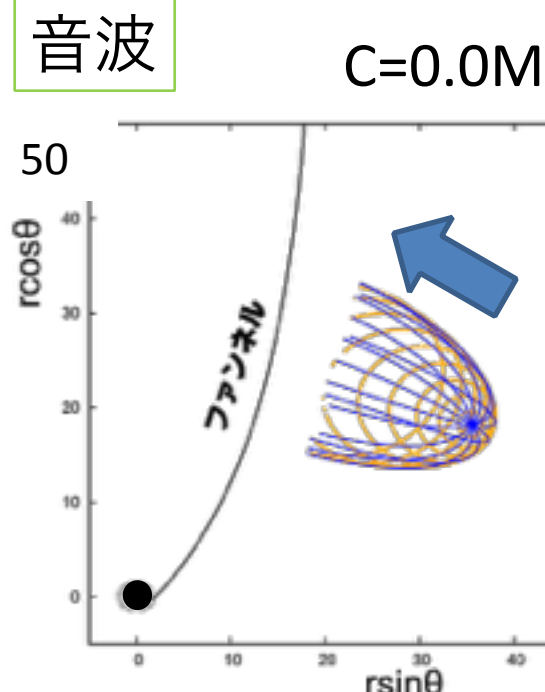
$$p_r = \pm \sqrt{-(g^{tt}p_tp_t + 2g^{t\phi}p_tp_\phi + g^{\theta\theta}p_\theta p_\theta + g^{\phi\phi}p_\phi p_\phi)/g^{rr}}$$

# 磁気流体波の伝播 ( $L < 0$ )

青：射線 橙：波面

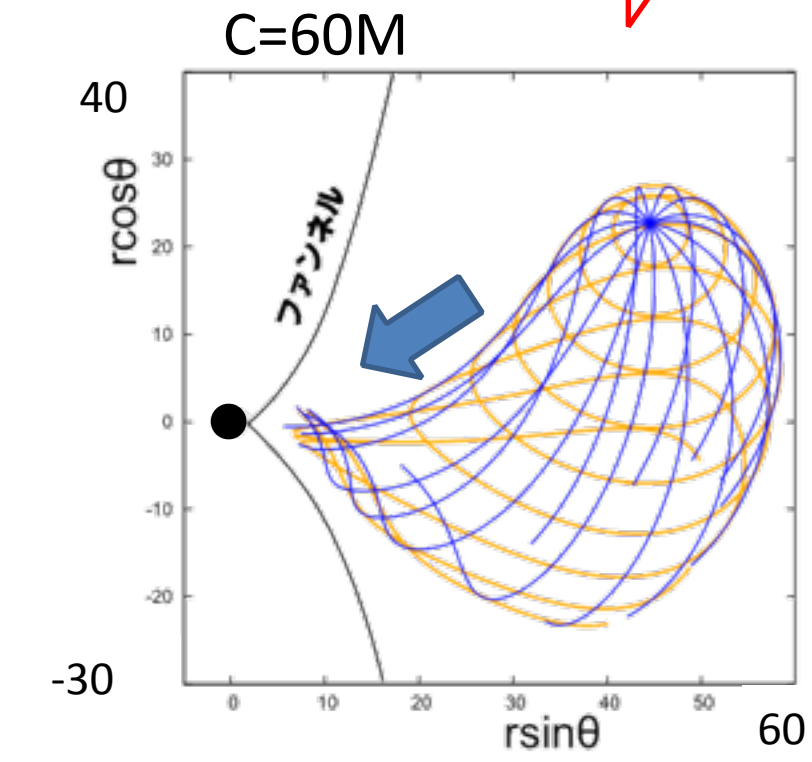
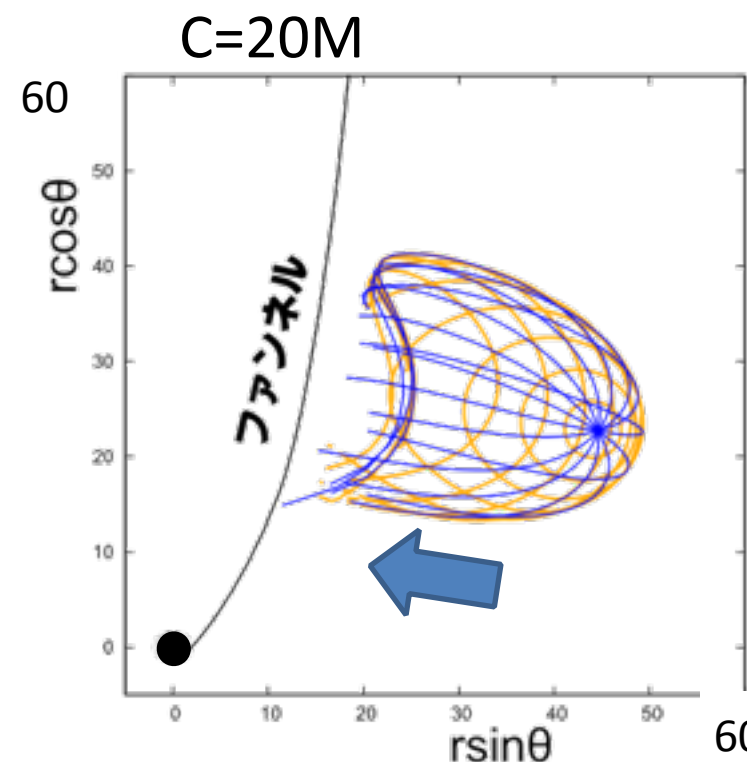
流体のパラメータ： $a = 0.8M$ ,  $\ell = 3.0M$ ,  $r_{\text{in}} = 2.85M$ ,  $\gamma = 4/3$

Paraboloidal磁場強度分布



磁場強度を強める

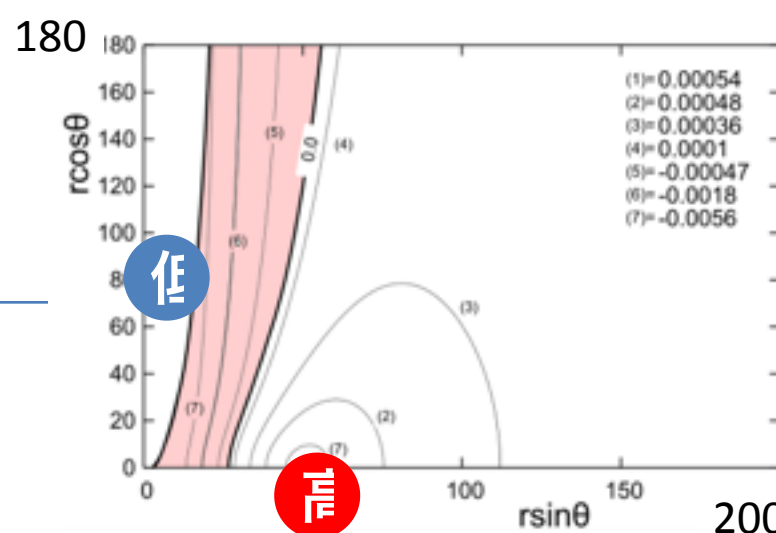
Split-monopole磁場強度分布



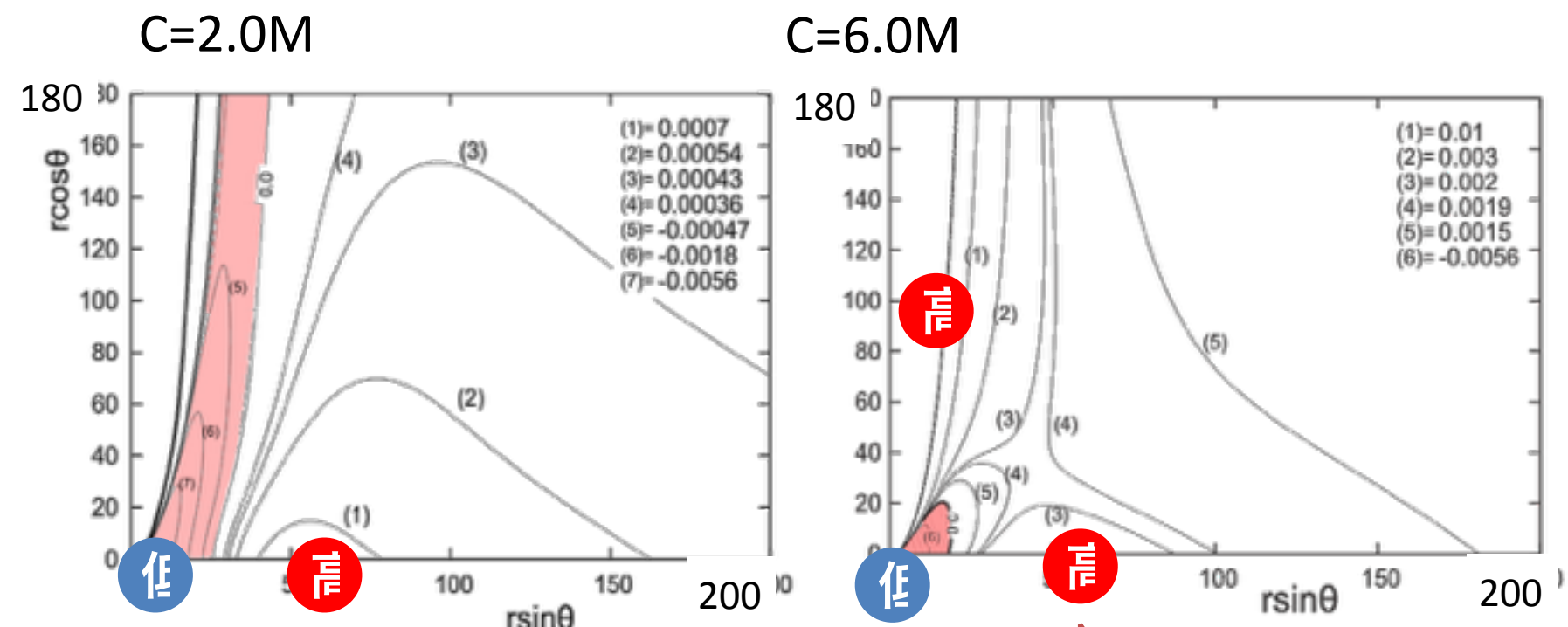
# 有効ポテンシャル ( $L < 0$ )

流体のパラメータ :  $a = 0.8M, \ell = 3.06M, r_{\text{in}} = 2.85M, \gamma = 4/3$

Paraboloidal 磁場強度分布

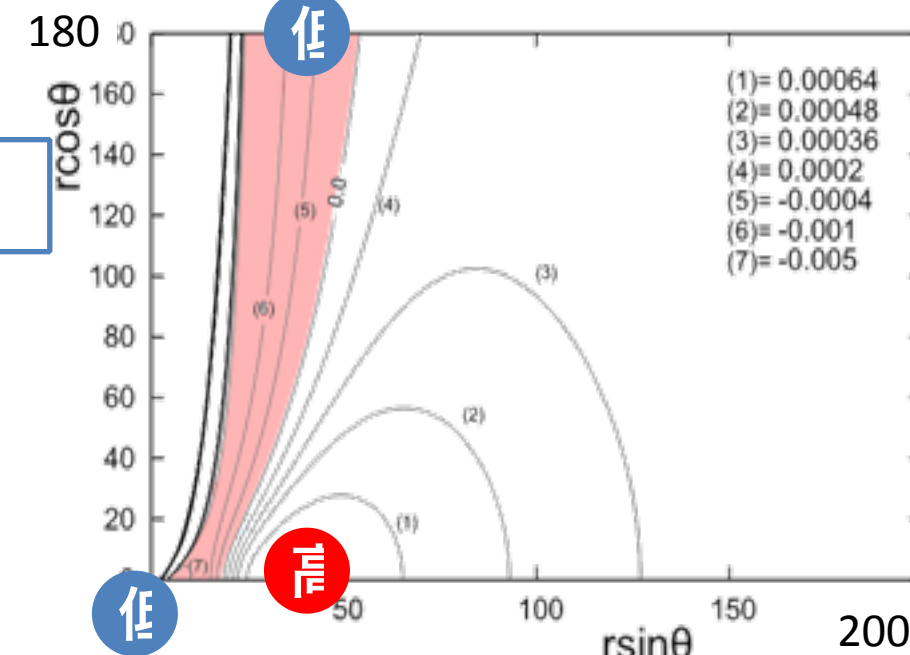


C=2.0M

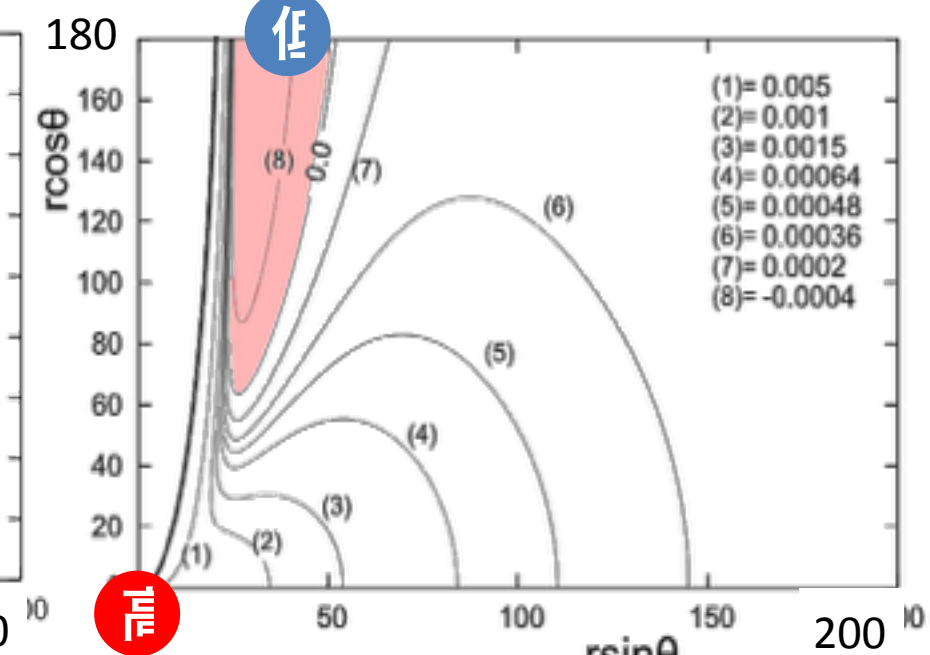


C=6.0M

Split-monopole 磁場強度分布



C=70m



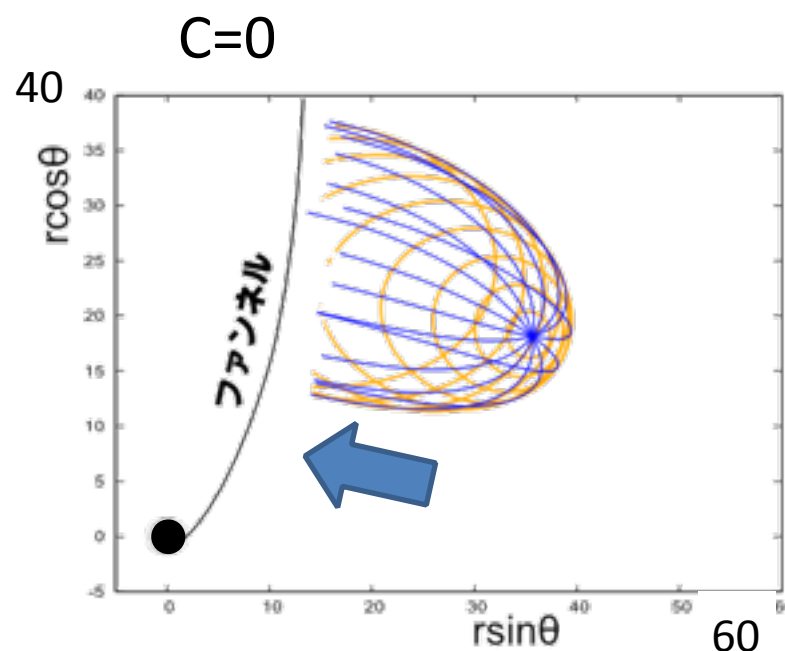
C=110m

# 磁気流体波の伝播 ( $L < 0$ )

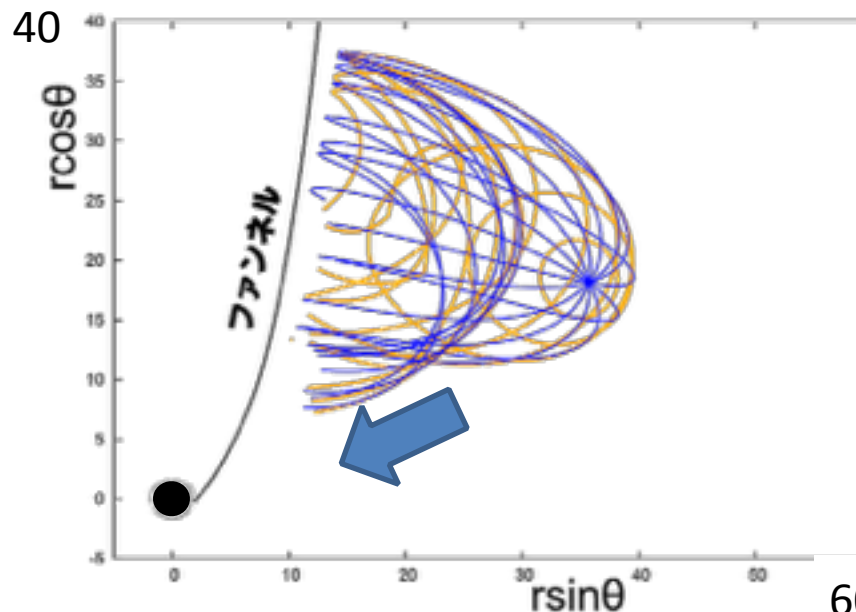
青：射線 橙：波面

流体のパラメータ： $a = 0.8M, \ell = 3.06M, r_{\text{in}} = 2.85M, \gamma = 4/3$

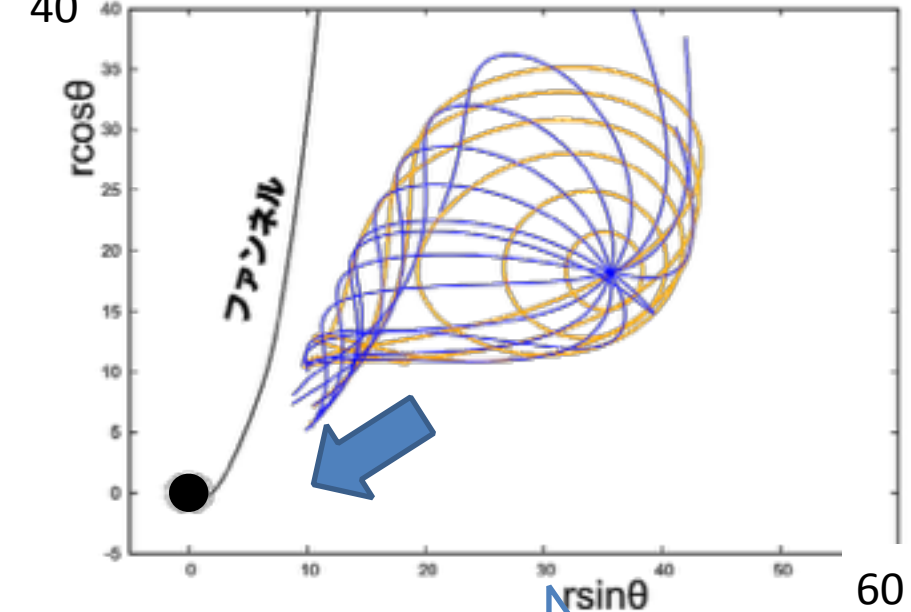
Paraboloidal 磁場強度分布



C=2.0M



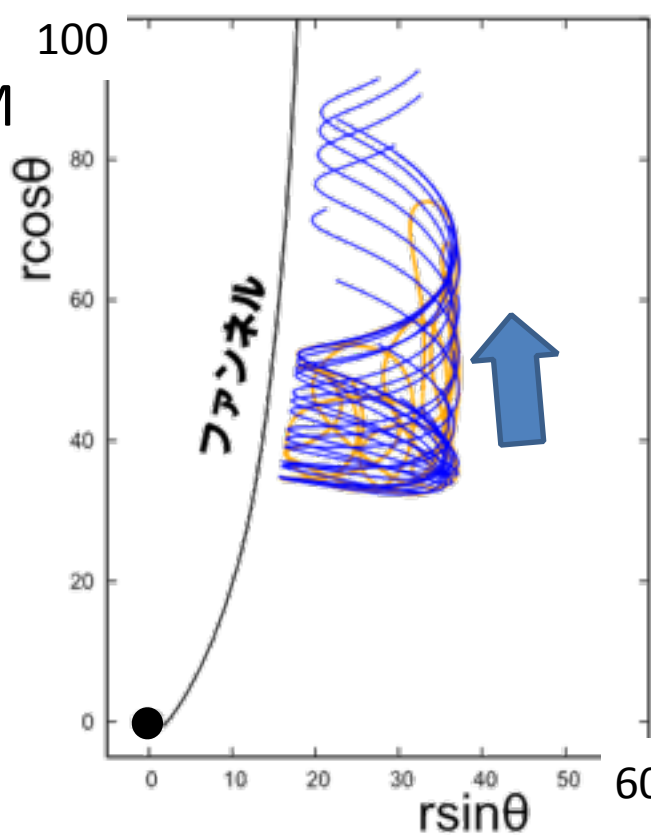
C=6.0M



磁場強度を強める

Split-monopole 磁場強度分布

C=70M



C=110M

